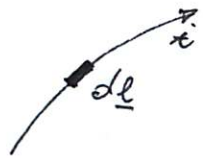


MAGNETOSTATICA  
NEL  
VUOTO

## Magnetostatica nel moto

- Forza di Lorentz  $\underline{F} = q \underline{v} \times \underline{B}$   $\omega = \frac{q \underline{B}}{m}$

- Secondo principio di Laplace  $d\underline{F} = i d\underline{l} \times \underline{B}$



- $B = \text{induzione magnetica} = \frac{V \cdot s}{m^2} = \text{Tesla} = \frac{\text{Weber}}{m^2} = 10^4 \text{ Gauss}$

- Legge di Biot - Savart  $\underline{B} = \frac{\mu_0}{2\pi} \frac{i \times r}{r^2}$

- Prima formula di Laplace  $d\underline{B} = \frac{\mu_0}{4\pi} i \frac{d\underline{l} \times r}{r^3}$

$$\underline{B} = \frac{\mu_0}{4\pi} \int \frac{\underline{J} \times \underline{r}}{r^3} d^3r$$

- campo generato da una corona in moto

$$\underline{J}(r) = q \underline{v}(x) S(r-x) \quad \underline{B} = \frac{\mu_0}{4\pi} q \frac{\underline{v} \times \underline{x}}{x^3} = \epsilon_0 \mu_0 \underline{v} \times \underline{E}$$

- $[\mu_0] = \frac{S \cdot s}{m} = \text{Henry m}^{-1}$   $\mu_0 = 4\pi 10^{-7} \text{ Henry m}^{-1}$

- Forza tra due fili paralleli di lunghezza  $l_1$  ed  $l_2$  e distanti  $a$

$$\underline{F} = l_1 i_1 \times \frac{\mu_0}{2\pi} \frac{\underline{l}_2 \times \underline{a}}{a^2} = - \frac{\mu_0}{2\pi} (i_1 i_2) \hat{a} \frac{l_1}{a}$$

- $\phi(\underline{B}_.) = 0 \quad \nabla \cdot \underline{B} = 0 \quad$  assenza di sorgenti

$$\underline{B} = \frac{\mu_0}{4\pi} \int \frac{\underline{J} \times \bar{r}}{r^3} d^3 r$$

- $\oint \underline{B} \cdot d\underline{l} = \mu_0 \sum i$

$$\int_S \nabla \times \underline{B} \cdot \underline{n} dS = \mu_0 \int \underline{J} \cdot \underline{n} dS \quad$$
 legge di Ampere

$$\nabla \times \underline{B} = \mu_0 \underline{J}$$

- $\underline{B} = \nabla \times \underline{A}$

melle gauge di Coulomb  $\nabla \cdot \underline{A} = 0$

$$\nabla \times \underline{B} = \mu_0 \underline{J} \Rightarrow \nabla^2 \underline{A} = -\mu_0 \underline{J}$$

$$\underline{A}(x) = \frac{\mu_0}{4\pi} \int \frac{\bar{J}(x')}{|x-x'|} d^3 x'$$

## Differential Equations of Magnetostatic

The magnetic induction generated by a current density  $\underline{J}(x)$  is

$$\underline{B}(x) = \frac{\mu_0}{4\pi} \int \underline{J}(x') \times \frac{x - x'}{|x - x'|^3} d^3x'$$

by using  $\nabla \times (\nabla \cdot \underline{v}) = (\nabla \cdot \nabla) \cdot \underline{v} + \nabla(\nabla \times \underline{v})$

and  $\nabla_x \left( \frac{1}{|x - x'|} \right) = - \frac{x - x'}{|x - x'|^3}$   $\nabla \times \underline{J} = \nabla_x \cdot \underline{v} = 0$

$$\underline{B}(x) = \frac{\mu_0}{4\pi} \nabla \times \int \frac{\underline{J}(x')}{|x - x'|} d^3x'$$

then 
$$\boxed{\nabla \cdot \underline{B}(x) = 0}$$

$$\nabla \times \underline{B}(x) = \frac{\mu_0}{4\pi} \nabla \times \left( \nabla \times \int \frac{\underline{J}(x')}{|x - x'|} d^3x' \right)$$

by using  $\nabla \times (\nabla \times \underline{v}) = \nabla(\nabla \cdot \underline{v}) - \nabla^2 \underline{v}$  and

$$\nabla(\nabla \cdot \underline{v}) = \nabla \nabla \cdot \underline{v} + \nabla \cdot \nabla \times \underline{v}$$

$$\nabla \times \underline{B}(\underline{x}) = \frac{\mu_0}{4\pi} \nabla \int \underline{J}(\underline{x}') \cdot \nabla \left( \frac{1}{|\underline{x}-\underline{x}'|} \right) d^3x' -$$

$$- \frac{\mu_0}{4\pi} \int \underline{J}(\underline{x}') \nabla^2 \left( \frac{1}{|\underline{x}-\underline{x}'|} \right) d^3x'$$

$$\nabla_{\underline{x}} \left( \frac{1}{|\underline{x}-\underline{x}'|} \right) = - \nabla_{\underline{x}'} \left( \frac{1}{|\underline{x}-\underline{x}'|} \right)$$

$$\nabla^2 \left( \frac{1}{|\underline{x}-\underline{x}'|} \right) = - 4\pi \delta(\underline{x}-\underline{x}')$$

$$\nabla \times \underline{B}(\underline{x}) = - \frac{\mu_0}{4\pi} \nabla \int \underline{J}(\underline{x}') \cdot \nabla' \left( \frac{1}{|\underline{x}-\underline{x}'|} \right) d^3x' + \mu_0 \underline{J}(\underline{x}) = \text{integrating by parts}$$

$$= \frac{\mu_0}{4\pi} \nabla \int \frac{\nabla' \cdot \underline{J}(\underline{x}')}{|\underline{x}-\underline{x}'|} d^3x' + \mu_0 \underline{J}(\underline{x})$$

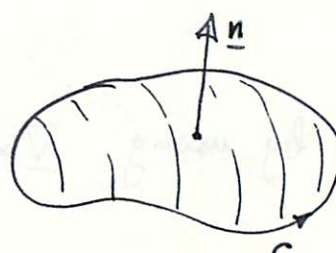
$$= \mu_0 \underline{J}(\underline{x})$$

because in a steady-state  $\nabla \cdot \underline{J} = 0$

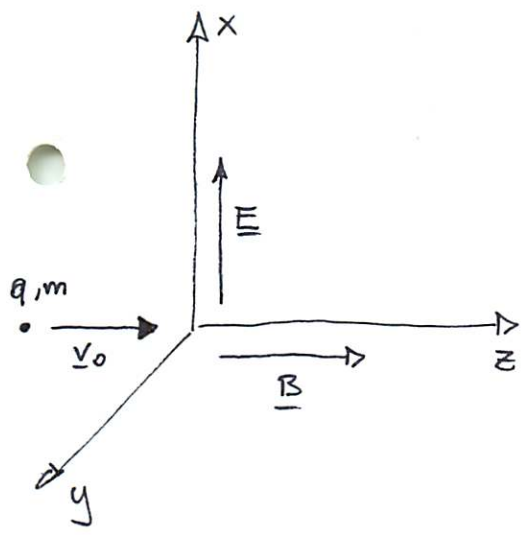
$$\int_S \mu_0 \underline{J} \cdot \underline{n} dS = \mu_0 I =$$

$$\int_S \nabla \times \underline{B} \cdot \underline{n} dS = \int_C \underline{B} \cdot d\underline{l}$$

Ampere law.



(1)



$$\underline{x}(0) = (0, 0, 0)$$

$$\dot{\underline{x}}(0) = (0, 0, v_0)$$

$$\underline{E} = (E, 0, 0)$$

$$\underline{B} = (0, 0, B)$$

$m \ddot{\underline{x}} = q \underline{E} + q \dot{\underline{x}} \times \underline{B}$

$$\begin{pmatrix} \dot{x} & \dot{y} & \dot{z} \\ 0 & 0 & B \end{pmatrix}$$

$$\begin{cases} \ddot{x} = \frac{qE}{m} + \frac{qB}{m} \dot{y} \\ \ddot{y} = -\frac{qB}{m} \dot{x} \\ \ddot{z} = 0 \end{cases}$$

$$\dot{z}(t) = \dot{z}(0) = v_0 \quad z(t) = z(0) + v_0 t = v_0 t$$

$$\dot{y}(t) - \dot{y}(0) = -\frac{qB}{m} [x(t) - x(0)] \quad \dot{y}(t) = -\frac{qB}{m} x(t)$$

$$\ddot{x} + \omega^2 x = \frac{qE}{m} \quad \omega = \frac{qB}{m}$$

$$x(t) = A \cos(\omega t) + B \sin(\omega t) + \frac{qE}{m\omega^2}$$

$$\begin{cases} x(0) = A + \frac{mE}{qB^2} = 0 \\ \dot{x}(0) = B\omega - \cancel{\omega} = 0 \end{cases} \quad \begin{cases} A = -\frac{mE}{qB^2} \\ B = 0 \end{cases}$$

$$x(t) = \frac{mE}{qB^2} [1 - \cos(\omega t)]$$

$$y(t) - y(0) = -\frac{qB}{m} \frac{mE}{qB^2} \left[ t - \frac{1}{\omega} \sin(\omega t) \right]$$

$$y(t) = -\frac{E}{B}t + \frac{E}{B} \frac{m}{qB} \sin(\omega t)$$

$$\begin{cases} x(t) = \frac{mE}{qB^2} [1 - \cos(\omega t)] \\ y(t) = \frac{mE}{qB^2} \sin(\omega t) - \frac{E}{B}t \\ z(t) = v_0 t \end{cases}$$

Le conice descrive un cerchio di raggio  $\frac{mE}{qB^2} = R$  nel piano  $xy$

e centro all'istante  $t$   $C = \left(-\frac{mE}{qB}, \frac{E}{B}t, v_0 t\right)$  infatti:

$$(x - C)^2 = R^2$$

$$V(t) = \sqrt{\dot{x}^2 + \dot{y}^2 + \dot{z}^2} = \sqrt{\left(\frac{m\bar{E}}{qB^2}\right)^2 w^2 \sin^2(\omega t) + \left[\frac{m\bar{E}}{qB^2} w \cos(\omega t) - \frac{E}{B}\right]^2 + v_0^2}$$

$$\begin{aligned} &= \sqrt{\frac{\bar{E}^2}{B^2} \sin^2 \omega t + \frac{\bar{E}^2}{B^2} (\cos^2 \omega t + 1 - \epsilon \cos \omega t) + v_0^2} = \\ &= \sqrt{2 \frac{\bar{E}^2}{B^2} [\cos \omega t + 1] + v_0^2} \end{aligned}$$

$$T(t) - T(0) = \frac{1}{2} m V(t)^2 - \frac{1}{2} m v_0^2 = m \frac{\bar{E}^2}{B^2} [1 - \cos(\omega t)]$$

$$L(t) = \int_0^t qE \dot{x}(t') dt' = q\bar{E} \frac{m\bar{E}}{qB^2} w \int_0^t \sin \omega t' dt' =$$

$$= m \frac{\bar{E}^2}{B^2} \left[ -\cos \omega t \right]_0^t = m \frac{\bar{E}^2}{B^2} [1 - \cos(\omega t)] = T(t) - T(0)$$

Il campo  $B$  non consente lavoro sulle particelle

$$dL = qB j \dot{x} dt - qB \dot{x} j dt = 0$$

tuttavia influenza il lavoro compiuto dal campo elettrico cambiando ~~direzione~~ la direzione di  $\mathbf{v}$

si consideri ora:

$$\bar{E} = E_0 \cos(\omega_0 t)$$

$$\begin{cases} \ddot{x} = \frac{q\bar{E}_0}{m} \cos(\omega_0 t) + \frac{qB}{m} \dot{y} \\ \ddot{y} = -\frac{qB}{m} \dot{x} \\ \ddot{z} = 0 \end{cases}$$

$$z(t) = v_0 t \quad \dot{y} = -\frac{qB}{m} x$$

$$\ddot{x} + \omega^2 x = \frac{q\bar{E}_0}{m} \cos(\omega_0 t)$$

soluzione particolare

$$x(t) = C \cos(\omega_0 t)$$

$$-C\omega_0^2 \cos(\omega_0 t) + \omega_0^2 C \cos(\omega_0 t) = \frac{q\bar{E}_0}{m} \cos(\omega_0 t)$$

$$C = \frac{q\bar{E}_0/m}{\omega_0^2 - \omega_0^2}$$

soluzione generale

$$x(t) = A \cos \omega_0 t + B \sin \omega_0 t + \frac{q\bar{E}_0/m}{\omega_0^2 - \omega_0^2} \cos \omega_0 t$$

$$\left\{ \begin{array}{l} x(0) = A + \frac{q\bar{E}_0/m}{\omega_0^2 - \omega_0^2} = 0 \end{array} \right.$$

$$\dot{x}(0) = B\omega = 0$$

$$\left\{ \begin{array}{l} A = -\frac{q\bar{E}_0/m}{\omega_0^2 - \omega_0^2} \\ B = 0 \end{array} \right.$$

$$x(t) = \frac{q\bar{E}_0/m}{\omega_0^2 - \omega_0^2} [\cos(\omega_0 t) - \cos(\omega t)]$$

$$y(t) = -\frac{qB}{m} \frac{\omega E_0/m}{\omega^2 - \omega_0^2} \left( \frac{1}{\omega_0} \sin \omega_0 t - \frac{1}{\omega} \sin \omega t \right) =$$

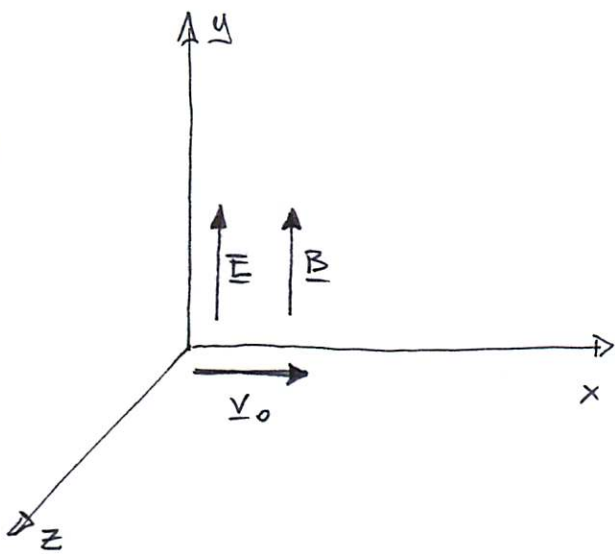
$$= -\omega \frac{\frac{qE_0/m}{\omega^2 - \omega_0^2}}{(\omega - \omega_0)(\omega + \omega_0)} \frac{\omega \sin \omega_0 t - \omega_0 \sin \omega t}{\omega \omega_0} =$$

$$= \frac{qE_0/m}{\omega^2 - \omega_0^2} \left( \sin \omega_0 t - \frac{\omega}{\omega_0} \sin \omega t \right)$$

Se i one colpisce l'ascina ed emette un  $t = \frac{z}{v_0}$  nel punto

$$x = \frac{qE_0/m}{\omega^2 - \omega_0^2} \left[ \cos \left( \omega_0 \frac{z}{v_0} \right) - \cos \left( \frac{\omega z}{v_0} \right) \right]$$

$$y = \frac{qE_0/m}{\omega^2 - \omega_0^2} \left[ \sin \left( \frac{\omega z}{v_0} \right) - \frac{\omega}{\omega_0} \sin \left( \frac{\omega_0 z}{v_0} \right) \right]$$



Moto in campi  $E$  e  $B$  paralleli  
di una carica  $q$  con massa  $m$

$$\underline{E} = (0, E, 0) \quad \underline{B} = (0, B, 0)$$

$$\underline{x}(0) = (0, 0, 0) \quad \dot{\underline{x}}(0) = (v_0, 0, 0)$$

$$\begin{cases} \ddot{x}(t) = -\frac{q}{m} \dot{z}(t) B \\ \ddot{y}(t) = \frac{q}{m} E \\ \ddot{z}(t) = \frac{q}{m} \dot{x}(t) B \end{cases}$$

$$\dot{z}(t) - \dot{z}(0) = \frac{qB}{m} [x(t) - x(0)] \quad \dot{z}(t) = \frac{qB}{m} x(t)$$

$$\ddot{x}(t) + \left(\frac{qB}{m}\right)^2 x(t) = 0 \quad \omega \equiv \frac{qB}{m}$$

$$x(t) = A \cos(\omega t) + B \sin(\omega t)$$

$$\begin{cases} x(0) = A = 0 \\ \dot{x}(0) = \omega B = v_0 \end{cases}$$

$$\begin{cases} A = 0 \\ B = \frac{v_0}{\omega} \end{cases}$$

$$\begin{aligned} y(t) &= y(0) + \dot{y}(0)t + \frac{1}{2} \frac{qE}{m} t^2 \\ z(t) &= z(0) + \omega \int_0^t x(t') dt' \end{aligned}$$

$$\left\{ \begin{array}{l} x(t) = \frac{v_0}{\omega} \sin(\omega t) \\ y(t) = \frac{qE}{2m} t^2 \\ z(t) = \frac{v_0}{\omega} [1 - \cos \omega t] \end{array} \right. \quad \omega \equiv \frac{qB}{m}$$

- per  $\omega t \ll 1$  (metodo delle parabole)

$$x(t) = \frac{v_0}{\omega} \omega t = v_0 t$$

$$y(t) = \frac{qE}{2m} t^2$$

$$z(t) = \frac{v_0}{\omega} \left[ 1 - \left( 1 - \frac{\omega^2 t^2}{2} \right) \right] = \frac{v_0 \omega}{2} t^2 = \frac{qB v_0}{2m} t^2$$

$$y = \frac{2mE}{qB^2} z^2$$

indipendentemente da  $v_0$ , ioni con lo stesso rapporto  $q/m$  raggiungono uno stesso  $x = x_0$  lungo una parabola

$$y = \frac{\text{cost}}{q/m} z^2$$

- per  $E=0$  la traiettoria giace sul piano  $y=0$

$$x(t) = \frac{v_0}{\omega} \sin(\omega t)$$

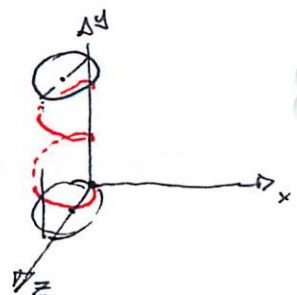
$$z(t) = \frac{v_0}{\omega} - \frac{v_0}{\omega} \cos(\omega t)$$

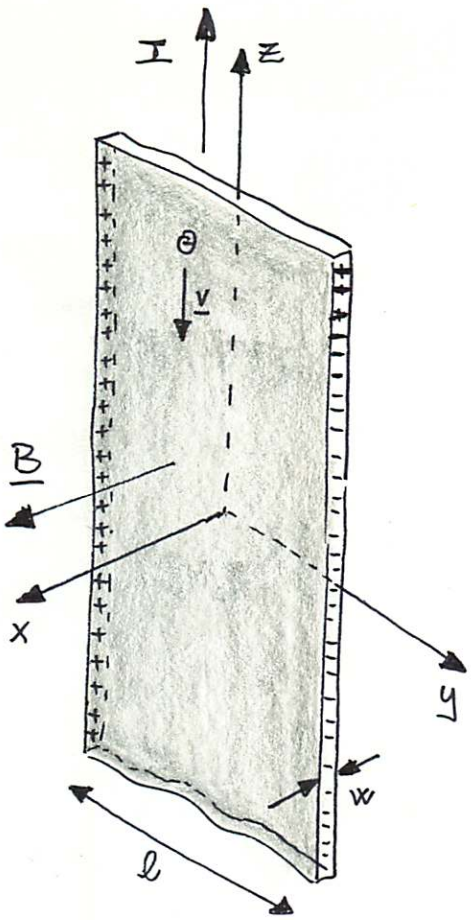
si tratta di un cerchio centrato in  $C \equiv (0, 0, \frac{v_0}{\omega})$

$$\text{e raggiro } R = \frac{v_0}{\omega} = \frac{mv_0}{qB}$$

$$[x(t) - 0]^2 + [z(t) - \frac{v_0}{\omega}]^2 = \frac{v_0^2}{\omega^2}$$

per  $E \neq 0$





### Effetto Hall (classico)

Una striscia di rame di spessore  $w$  e lunghezza  $l$  è posta in un campo  $\underline{B}$  perpendicolare. Lungo la striscia c'è una corrente  $I$ . Conoscendo il ~~la~~ per specifico  $p$  del rame e le masse dell'atomo di Cu  $M_{Cu} = 63.54$  e.m.u. ( $= 1.66 \cdot 10^{-27}$  kg) determinare il campo elettrico trasverso (Cu è monovalente).

$$\underline{F}_B = -e \underline{v} \times \underline{B} = (0, evB, 0) \Rightarrow \underline{E}_H = (0, E_H, 0)$$

$$\underline{F}_H = -e \underline{E}_H = (0, -e E_H, 0)$$

all'equilibrio  $e \nabla B - e E_H = 0$

$$E_H = v B$$

$$I = n e v (w l)$$

$n$  = densità di elettroni di conduzione.

$$n = \frac{P}{M_{Cu}} \cdot 1$$

$$v = \frac{I}{n e w l} = \frac{I M_{Cu}}{P e w l}$$

$$E_H = \frac{B I M_{Cu}}{e p w l}$$

$$I = 100 \text{ A}$$

$$B = 1.75 \text{ T}$$

$$W = 1.25 \text{ mm}$$

$$l = 0.15 \text{ m}$$

$$\rho = 8.92 \cdot 10^3 \text{ kg m}^{-3}$$

$$M_{\text{eu}} = 1.05 \cdot 10^{-25} \text{ kg}$$

$$E_H = 69 \text{ } \mu \text{Vm}^{-1}$$

$$(0, \omega_0, 0) = \omega_0 \quad \Rightarrow \quad (0, \omega_0, 0) = B \times \vec{v} = \vec{B} \times \vec{v}$$

$$(0, \omega_0, 0) = \mu_0 I - \mu_0 I$$

$$\boxed{\Delta p = \mu_0 I}$$

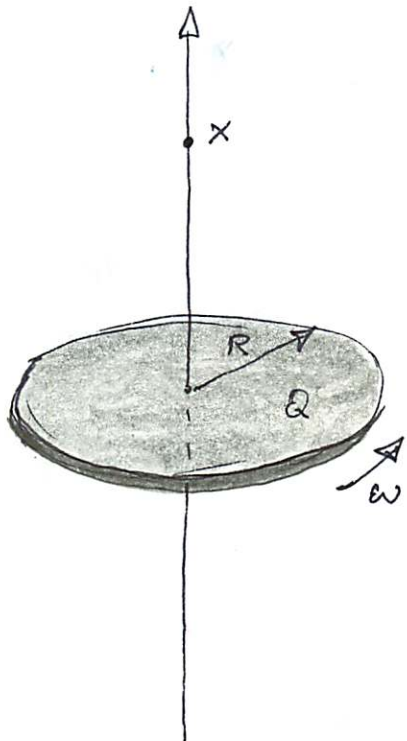
$$\Delta p = \mu_0 I$$

$$\Delta p = \mu_0 I$$

$$(\Delta p) \times n = I$$

$$\frac{\Delta p}{\Delta q} = \frac{I}{n} = V \quad \Rightarrow \quad \frac{1}{n} = \frac{V}{I}$$

$$\boxed{\frac{\Delta p}{\Delta q} = \frac{I}{n}}$$



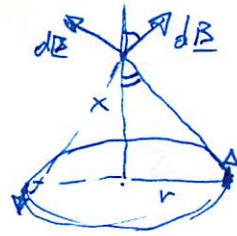
Un disco metallico di raggio  $R$  è posto in rotazione intorno al proprio asse con velocità angolare  $\omega$ . Il disco è nel vuoto ed è uniformemente carico con carica  $Q$ . Traverso l'induzione magnetica generata nei punti dell'asse trascurando la variazione di uniformità della carica.

La corona circolare di raggi  $r$  ad  $r + dr$  contiene una carica  $dQ = \frac{Q}{\pi R^2} 2\pi r dr = \frac{\omega Q r}{R^2} dr$

questa carica ruota con un periodo  $T = \frac{2\pi}{\omega}$   
 quindi rappresenta una spira circolare di raggio  $r$   
 percorso da corrente

$$dI = \frac{dQ}{T} = \frac{\omega Q r}{\pi R^2} dr$$

In un punto dell'asse del disco a distanza  $x$  il campo  $\underline{B}$  ha le direzioni dell'asse (di  $\omega$  se  $Q > 0$   
 $B \propto -\omega$  se  $Q < 0$ ) e vale



$$dB(x) = \frac{\mu_0}{2} \frac{r^2 dI}{(r^2 + x^2)^{3/2}}$$

$$B(x) = \int dB = \frac{\mu_0}{2} \int_0^R \frac{r^2}{(r^2 + x^2)^{3/2}} \frac{\omega Q r}{\pi R^2} dr =$$

$$= \frac{\mu_0 \omega Q}{2\pi R^2} \int_0^R \frac{r^3}{(r^2 + x^2)^{3/2}} dr =$$

$$= \frac{\mu_0 \omega Q}{2\pi R^2} \left\{ \left[ r^2 \cdot \frac{-1}{(r^2 + x^2)^{1/2}} \right]_0^R + \int_0^R \frac{2r}{(r^2 + x^2)^{1/2}} dr \right\} =$$

$$= \frac{\mu_0 \omega Q}{2\pi R^2} \left\{ - \frac{R^2}{\sqrt{x^2 + R^2}} + \left[ 2\sqrt{r^2 + x^2} \right]_0^R \right\} =$$

$$= \frac{\mu_0 \omega Q}{2\pi R^2} \left\{ - \frac{R^2}{\sqrt{x^2 + R^2}} + 2\sqrt{R^2 + x^2} - 2\sqrt{x^2} \right\}$$

$$= \frac{\mu_0 \omega Q}{2\pi R^2} \left[ 2x \left( \sqrt{1 + \frac{R^2}{x^2}} - 1 \right) - \frac{R^2}{x\sqrt{1 + \frac{R^2}{x^2}}} \right]$$

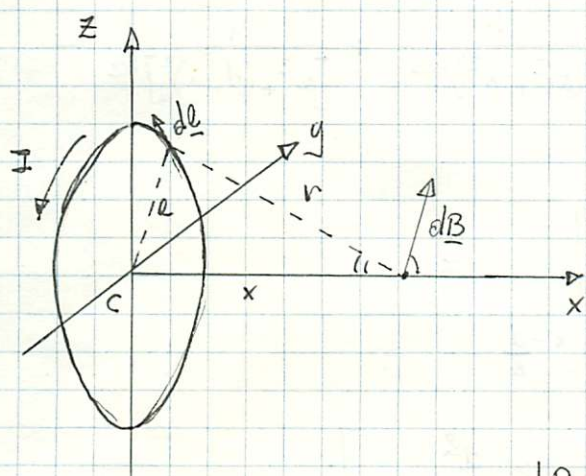
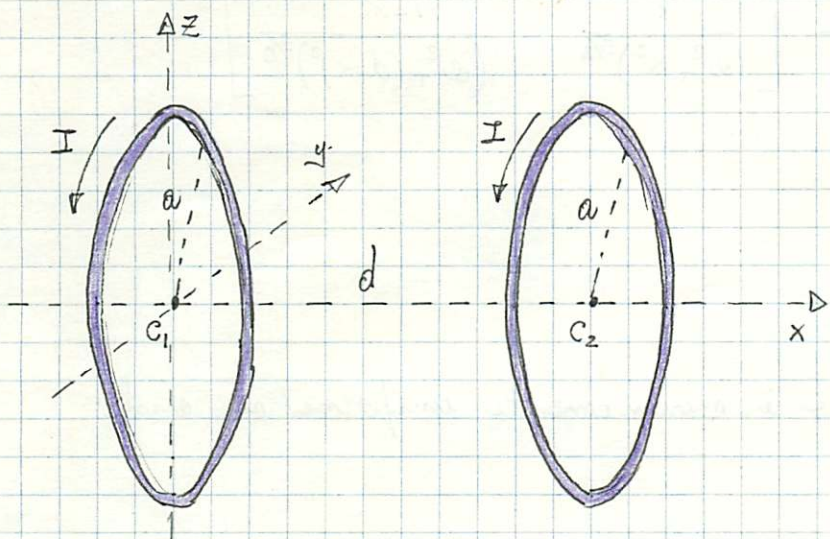
per  $\frac{R}{x} \ll 1$

$$B(x) = \frac{\mu_0 \omega Q}{2\pi R^2} \left[ 2x \left( 1 + \frac{1}{2} \frac{R^2}{x^2} - \frac{1}{8} \frac{R^4}{x^4} - 1 \right) - \frac{R^2}{x} \left( 1 - \frac{1}{2} \frac{R^2}{x^2} \right) \right]$$

$$= \frac{\mu_0 \omega Q}{2\pi R^2} \cdot \frac{1}{4} \frac{R^4}{x^3} = \frac{\mu_0 \omega Q R^2}{8\pi x^3} = \frac{\mu_0}{2} \frac{\frac{R^2}{2} (\omega Q / 2\pi)}{x^3}$$

Due bobine di Helmholtz costituite da  $N$  spire circolari di raggio  $a$  sono posse delle stesse corrente  $I$  circolante nello stesso verso.

La distanza tra i centri delle bobine, parallele, è  $d$ . Col colosore  $B$  l'area l'area tra i centri delle due bobine e la variazione tra  $\alpha$  ed affinché  $B$  sia uniformemente uniforme tra le due bobine.



Il campo prodotto da una spira circolare di raggio  $a$  a distanza  $x$  dal centro vale

$$B_y(x, 0, 0) = B_z(x, 0, 0) = 0$$

$$dB_x(x, 0, 0) = \frac{\mu_0}{4\pi} I (\underline{dl} \times \underline{r}) \times \frac{1}{r^3} =$$

$$= \frac{\mu_0 I}{4\pi} \frac{\omega d\theta}{x^2 + \omega^2} \frac{\omega}{\sqrt{x^2 + \omega^2}} = \frac{\mu_0 I}{4\pi} \frac{\omega^2}{(\omega^2 + x^2)^{3/2}} d\theta$$

$$B_x(x, 0, 0) = \frac{\mu_0 I}{2\pi} \frac{\omega^2}{(\omega^2 + x^2)^{3/2}}$$

Per le bobine di Helmholz si ha:  $B_y(x, 0, 0) = B_z(x, 0, 0) = 0$

$$B_x(x, 0, 0) = \frac{\mu_0 I N}{2} \left[ \frac{\omega^2}{(\omega^2 + x^2)^{3/2}} + \frac{\omega^2}{(\omega^2 + (d-x)^2)^{3/2}} \right]$$

$B_x(x, 0, 0)$  è minimo per  $x = \frac{d}{2}$  infatti

$$\frac{d}{dx} B_x(x, 0, 0) = -\frac{3\mu_0 I N \omega^2}{2} \left[ \frac{x}{(\omega^2 + x^2)^{5/2}} - \frac{d-x}{(\omega^2 + (d-x)^2)^{5/2}} \right]$$

$$\text{e } \left. \frac{d}{dx} B_x(x, 0, 0) \right|_{x=\frac{d}{2}} = 0$$

Intorno a  $x = \frac{d}{2}$  il campo è uniformemente uniforme se anche

$$\left. \frac{d^2}{dx^2} B_x(x, 0, 0) \right|_{x=\frac{d}{2}} = 0$$

$$\left. \frac{d^2}{dx^2} B_x(x, 0, 0) \right|_{x=\frac{d}{2}} = -\frac{3\mu_0 I N \omega^2}{2} \left[ \frac{1}{(\omega^2 + x^2)^{5/2}} + \frac{1}{[\omega^2 + (d-x)^2]^{5/2}} - \right.$$

$$\left. -\frac{5x^2}{(\omega^2 + x^2)^{7/2}} - \frac{5(d-x)^2}{(\omega^2 + (d-x)^2)^{7/2}} \right]_{x=\frac{d}{2}} =$$

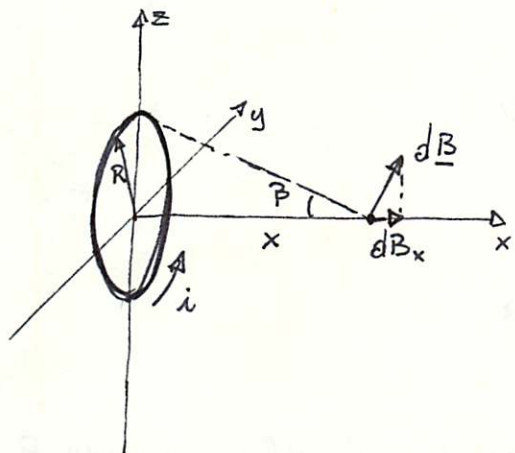
$$= -\frac{3\mu_0 I N \omega^2}{2} \left[ \frac{2}{(\omega^2 + \frac{d^2}{4})^{5/2}} - \frac{10 \frac{d^2}{4}}{(\omega^2 + \frac{d^2}{4})^{7/2}} \right] =$$

$$= -3\mu_0 I N \omega^2 \frac{\omega^2 + \frac{d^2}{4} - 5 \frac{d^2}{4}}{\left( \omega^2 + \frac{d^2}{4} \right)^{7/2}} = -3\mu_0 I N \omega^2 \frac{\omega^2 - \frac{d^2}{4}}{\left( \omega^2 + \frac{d^2}{4} \right)^{7/2}} = 0$$

che da  $\omega = d$

①

# Induzione magnetica lungo l'asse di una spira circolare



$$r^2 = x^2 + R^2$$

$$dl = R d\theta \quad 0 \leq \theta \leq 2\pi$$

$$\sin \beta = \frac{R}{r}$$

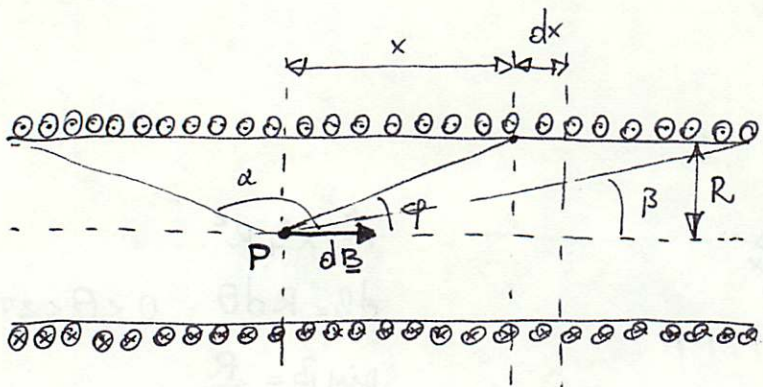
$$B_y(x, 0, 0) = B_z(x, 0, 0) = 0$$

$$dB_x(x, 0, 0) = \frac{\mu_0 i}{4\pi} \frac{dl}{r^2} \cos\left(\frac{\pi}{2} - \beta\right) =$$

$$= \frac{\mu_0 i}{4\pi} \frac{R^2}{(x^2 + R^2)^{3/2}} \frac{d\theta}{}$$

$$B_x(x, 0, 0) = \frac{\mu_0 i R^2}{2(x^2 + R^2)^{3/2}}$$

## Induzione magnetica al centro di un solenoido



Il solenoido abbia  $N$  spire e sia lungo  $L$  ed abbia raggio  $R$

il campo  $\underline{B}$  lungo l'asse è parallelo all'asse.

il contributo dovuto alle  $\frac{N}{L} dx$  spire circolari comprese nel tratto  $dx$  distante  $x$  da  $P$  è:

$$dB = \frac{\mu_0 i R^2}{2(x^2 + R^2)^{3/2}} \frac{N}{L} dx$$

$$R = x \tan \varphi$$

$$dx = -R \frac{d\varphi}{\sin^2 \varphi}$$

$$\sqrt{x^2 + R^2} = \frac{R}{\sin \varphi}$$

$$dB = \frac{\mu_0 i R^2}{2} \frac{\sin^3 \varphi}{R^3} \frac{N}{L} \frac{-R d\varphi}{\sin^2 \varphi} = -\frac{N}{L} \frac{\mu_0 i}{2} \sin \varphi d\varphi$$

$$= \frac{N}{L} \frac{\mu_0 i}{2} d(\cos \varphi)$$

$$\boxed{B = \frac{N}{L} \frac{\mu_0 i}{2} (\cos \beta - \cos \alpha)}$$

quando  $L \rightarrow \infty$  con  $\frac{N}{L} = n = \text{costante}$

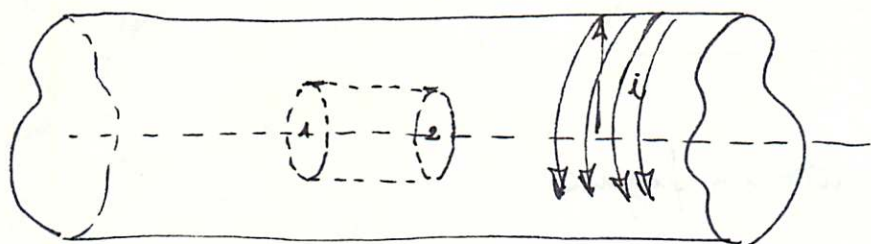
$B \rightarrow 0$   $\alpha \rightarrow \pi$

$$\boxed{B = \mu_0 i n}$$

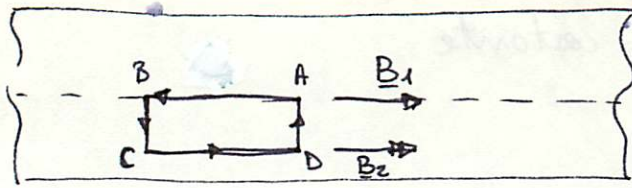
lo stesso risultato si ottiene facendo uso delle relazioni

$$\nabla \cdot \underline{B} = 0 \Rightarrow \phi(\underline{B}) = 0$$

$$\nabla \times \underline{B} = \mu_0 \underline{J} \Rightarrow \oint \underline{B} \cdot d\underline{l} = \mu_0 \sum i$$



- 1) si consideri il cilindro in figura; attraverso le sue superficie è  $\phi(\underline{B})=0$ . Poiché il solenoide è infinito le facce 1 e 2 sono interconigliate: il flusso che entra da 1 deve uscire da 2. Ne segue che il flusso attraverso il montello è nullo cioè  $\underline{B}$  è parallelo all'asse del solenoide per la simmetria cilindrica che necessariamente deve possedere.

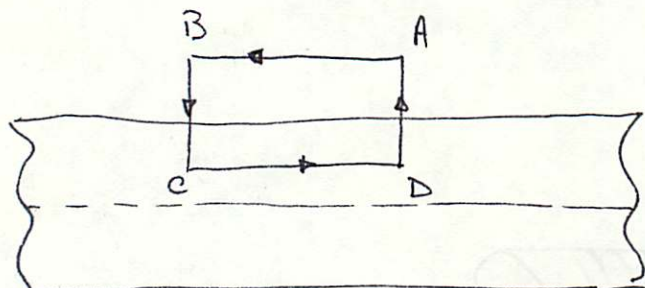


2) si consideri il circuito in figura:

$$\oint \underline{B} \cdot d\underline{l} = 0 = -B_1 \overline{AB} + B_2 \overline{CD} \Rightarrow B_1 = B_2$$

$\underline{B}$  è uniforme all'interno del solenoido

anche fuori del solenoido  $\underline{B}$  è uniforme ma dovranno annullarsi all'infinito  $\underline{B} = 0$

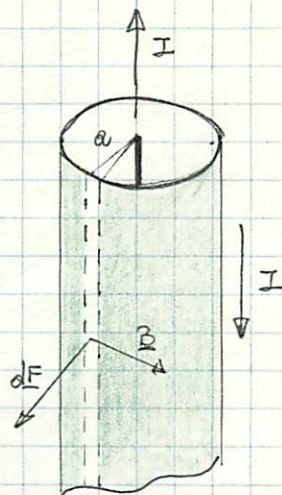


3) si consideri il circuito in figura:

$$\oint \underline{B} \cdot d\underline{l} = \mu_0 i n \overline{AB} = B \overline{CD}$$

$B = \mu_0 i n$  essendo  $n$  il numero di spire per unità di lunghezza.

Un cavo coassiale è costituito da un conduttore rettilineo di sezione trascurabile circondato da un conduttore cilindrico di raggio  $a = 5\text{ mm}$  e sezione trascurabile. Tra i due conduttori c'è il vuoto. Determinare la pressione a cui è sottoposto il conduttore cilindrico quando il cavo è percorso da corrente  $I = 10\text{ A}$ .



Si consideri un tratto di cavo di lunghezza  $l$ .  
Filo e cilindro sono percorsi delle stesse correnti  $I$  in versi opposti.  
Lungo la striscia infinitesima del cilindro  
una spessa di lunghezza  $ad\theta$  fluisce  
la corrente.

$$I \frac{ad\theta}{2\pi a} = \frac{I}{2\pi} d\theta$$

Poiché il campo  $B$  generato dal filo sul cilindro vale

$$B = \frac{\mu_0 I}{2\pi a} \quad \text{tangente al cilindro}$$

la striscia subisce una forza repulsiva (repulsive)

$$dF = \frac{I}{2\pi} d\theta \cdot l \cdot \frac{\mu_0 I}{2\pi a} = \frac{\mu_0 I^2 l}{4\pi^2 a} d\theta$$

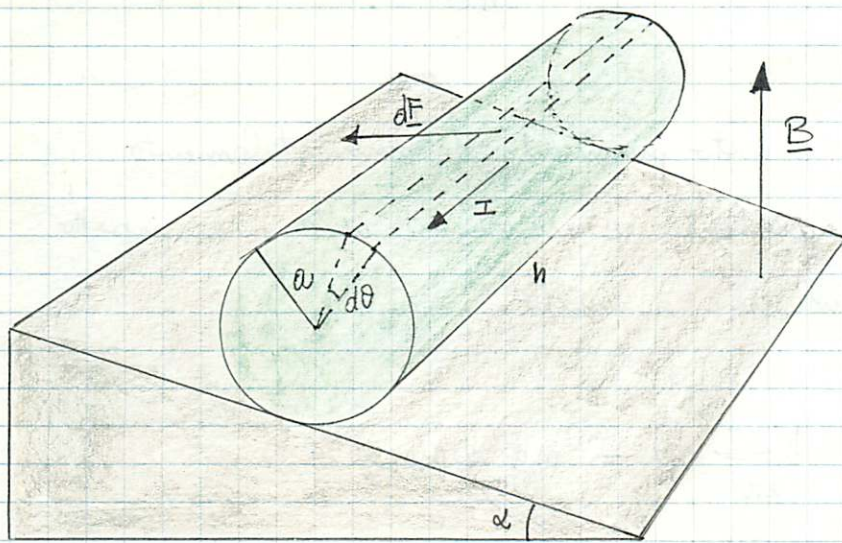
La forza totale che si esercita sul tratto di cilindro lungo  $l$  vale:

$$F = \frac{\mu_0 I^2 l}{2\pi \omega}$$

e la pressione è

$$P = \frac{F}{2\pi \rho v l} = \mu_0 \left( \frac{I}{2\pi \omega} \right)^2 = 0.13 \text{ Pa} = 1.3 \cdot 10^{-6} \text{ atm.}$$

Un cilindro omogeneo di massa  $m = 100 \text{ g}$  raggio  $\alpha = 3 \text{ cm}$   
 ad altezza  $h = 10 \text{ cm}$ . scende a velocità costante lungo un piano  
 inclinato con  $\alpha = \frac{\pi}{6} \text{ rad}$ . Lungo la superficie laterale del cilindro  
 scorre una corrente  $I$  ed esiste un campo verticale  $B = 10^4 \text{ Gau} (\text{=} 1 \text{ T})$   
 Si calcoli il valore di  $I$  nei casi a) tra piano e cilindro  
 non c'è attrito b) il cilindro rotola senza attrito.



Le correnti che scorrono lungo la perimetro della superficie laterale  
 compresa tra  $\theta$  e  $\theta + d\theta$  vale

$$dI = I \cdot \frac{\alpha d\theta}{2\pi \alpha} = \frac{I}{2\pi} d\theta$$

esse da luogo ad una forza  $dF$  orizzontale  
 che si oppone alla discesa del cilindro (per un opportuno verso di  $I$ )

$$dF = h B dI = \frac{h B I}{2\pi} d\theta$$

a) se l'attito è trascurabile e il cilindro trascina a velocità costante la somma delle forze lungo il piano è nulla:

$$\int dF \cos \alpha - mg \sin \alpha = 0$$

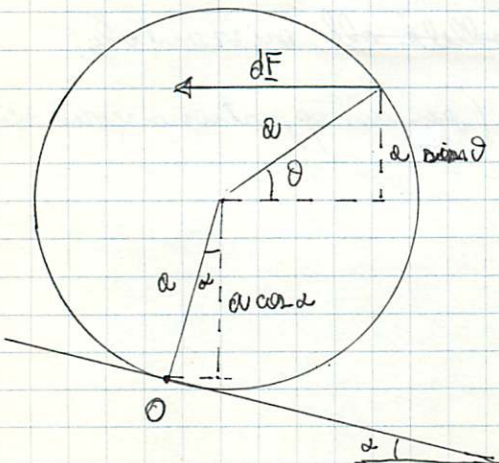
$$hBI \cos \alpha - mg \sin \alpha = 0 \quad I = \frac{mg}{hB} \tan \alpha = 5.66 \text{ A}$$

b) in presenza di attrito e moto di piano rotolamento la velocità di discesa è costante re il momento delle forze rispetto all'asse di instantanea rotazione è nullo

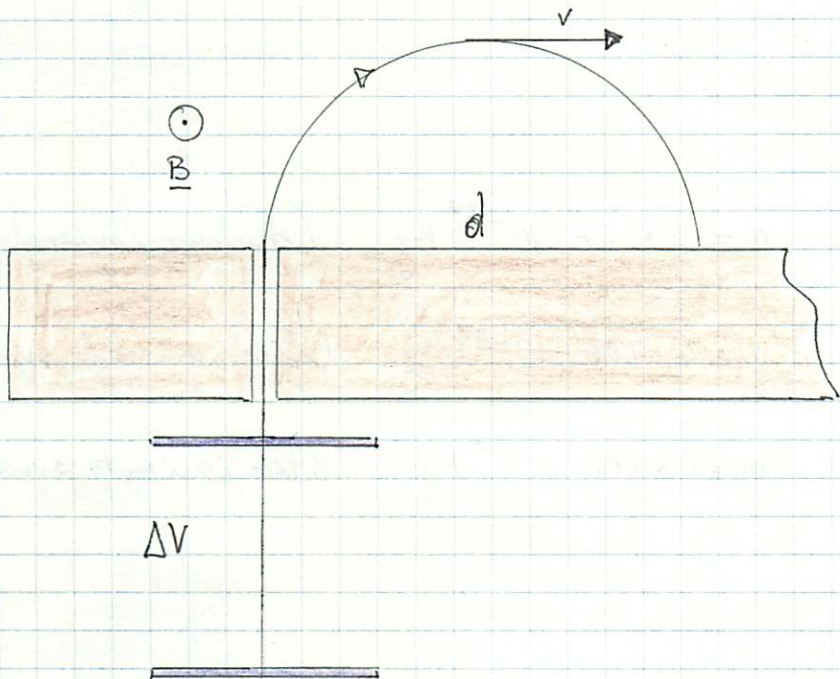
$$\int_0^{2\pi} (\alpha \cos \theta + \alpha \sin \theta) \frac{hBI}{2\pi} d\theta - mg \alpha \sin \alpha = 0$$

$$hBI \alpha \cos \alpha - mg \alpha \sin \alpha = 0$$

$$I = \frac{mg}{hB} \tan \alpha = 5.66 \text{ A} \quad \text{come nel caso a)}$$



Un fascio di ioni dopo essere stato accelerato da fermo da una d.d.p.  $\Delta V = 10^4 \text{ V}$  e collinietto penetra in una regione con campo  $B = 0.1 \text{ T}$  uniforme perpendicolare al fascio. Il fascio viene deviato di  $180^\circ$  rispetto alla direzione iniziale ed entra in una lasta di distanza  $d = 26.5 \text{ cm}$  dal punto di ingresso nella regione deflettore. Calcolare il rapporto  $q/m$  degli ioni.



gli ioni entrano nella regione deflettore con velocità  $v$  tale che :

$$\frac{1}{2} m v^2 = q \Delta V \quad v = \sqrt{2 \frac{q \Delta V}{m}}$$

tale velocità viene conservata in modulo fino all'impatto sullo scudo  
La traiettoria è circolare con raggio  $\frac{d}{2} = \frac{mv}{qB}$

$$m \frac{v^2}{d/2} = qvB$$

$$\frac{q}{m} = \frac{v}{B d/2} = \frac{1}{B d/2} \sqrt{\frac{2 q \Delta V}{m}}$$

quadrando

$$\frac{q}{m} = \frac{2 \Delta V}{B^2 d^2/4} = \frac{8 \Delta V}{B^2 d^2} = 4.8 \cdot 10^{-7} \text{ C kg}^{-1}$$

gli ioni potrebbero essere:

$$H^{2+} \quad q = 1.6 \cdot 10^{-19} \text{ C} \quad m = 2 \times 1.67 \cdot 10^{-27} \text{ kg} \quad (\text{dutero ionizzato})$$

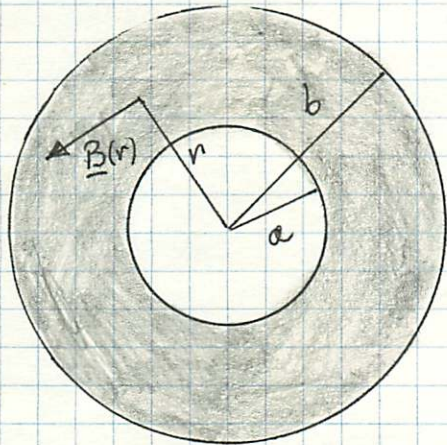
$$H_e^{4++} \quad q = 2 \times 1.6 \cdot 10^{-19} \text{ C} \quad m = 4 \times 1.67 \cdot 10^{-27} \text{ kg} \quad (\text{elio ionizzato 2 volte})$$

$$Li^{6+++} \quad q = 3 \times 1.6 \cdot 10^{-19} \text{ C} \quad m = 6 \times 1.67 \cdot 10^{-27} \text{ kg} \quad (\text{litio ionizzato 3 volte})$$

⋮

Un conduttore è resone tubolare con raggi  $a = 10 \text{ cm}$  e  $b = 20 \text{ cm}$  è percorso da una corrente  $I$  con densità uniforme. Determinare  $B$  in funzione delle distanze dal centro del conduttore e la distanza  $r_0$  tale che  $B(r_0) = B\left(\frac{a+b}{2}\right)$

---



Per motivi di simmetria  $\underline{B}$  è tangente ai cerchi di raggio  $r$  concentrici al conduttore e con modulo  $B = B(r)$

usando il teorema della circuazione  $\oint_C \underline{B} \cdot d\underline{l} = \int_S \underline{j} \cdot \hat{n} dS \mu_0$

per  $0 < r < a$  si ha:

$$2\pi r B(r) = 0 \quad B(r) = 0$$

per  $a < r < b$

$$2\pi r B(r) = \mu_0 I \frac{r^2 - a^2}{b^2 - a^2}$$

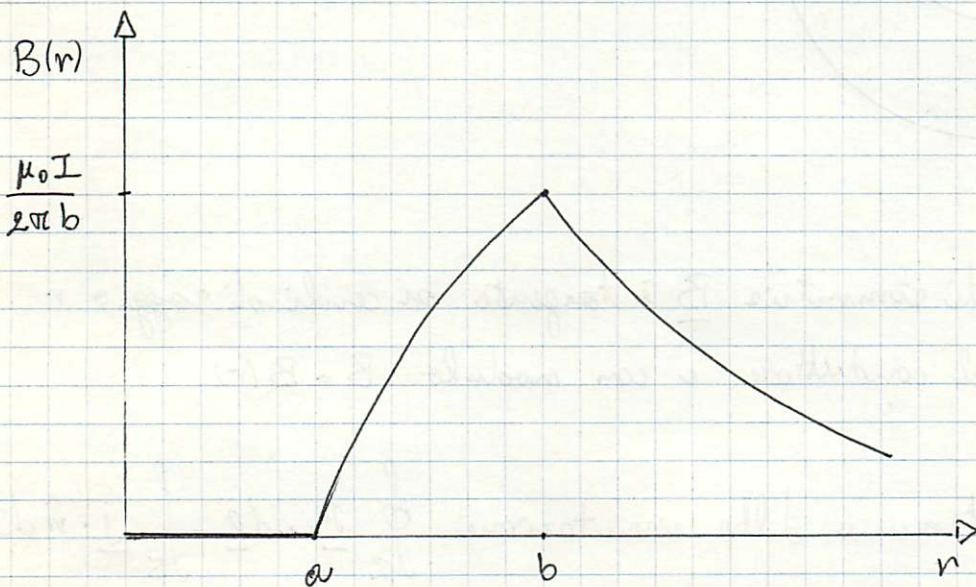
$$B(r) = \frac{\mu_0 I}{2\pi r} \frac{r^2 - a^2}{b^2 - a^2}$$

per  $r > b$

$$2\pi r B(r) = \mu_0 I$$

$$B(r) = \frac{\mu_0 I}{2\pi r}$$

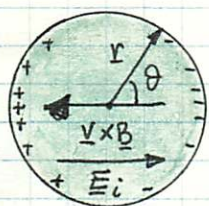
$$B(r) = \begin{cases} 0 & 0 < r < a \\ \frac{\mu_0 I}{2\pi r} \frac{r^2 - a^2}{b^2 - a^2} & a < r < b \\ \frac{\mu_0 I}{2\pi r} & b < r \end{cases}$$



$$B(r_0) = B\left(\frac{a+b}{2}\right) \Rightarrow \frac{\mu_0 I}{2\pi r_0} = \frac{\mu_0 I}{2\pi \frac{a+b}{2}} \frac{\left(\frac{a+b}{2}\right)^2 - a^2}{b^2 - a^2}$$

$$r_0 = \frac{a+b}{2} \frac{b^2 - a^2}{\left(\frac{a+b}{2}\right)^2 - a^2} = 36 \text{ cm}$$

Una sfera metallica di raggio  $a = 1.2 \text{ cm}$  e permeabilità relativa  $\mu_r = 1$  si muove con velocità costante  $v = 0.3 \text{ m s}^{-1}$  in un campo di induzione magnetica  $B = 0.5 \text{ T}$  inclinato di un angolo  $\alpha = 30^\circ$  rispetto a  $v$ . Calcolare il campo elettrico all'interno e all'esterno delle sfera rispetto ad un sistema di riferimento fermo, le densità di corice indotta nel volume e sulla superficie delle sfera e il momento di dipolo delle sfera.



Poiché  $\mu_r = 1$  anche all'interno delle sfera il campo di induzione magnetica è  $\underline{B}$ . All'interno delle sfera si stabilisce un campo elettrico  $\underline{E}_i$  uniforme che compensa le forze magnetiche su ogni carica libera:

$$q(\underline{E}_i + \underline{v} \times \underline{B}) = 0 \quad \underline{E}_i = -\underline{v} \times \underline{B} \quad E_i = 0.075 \text{ V m}^{-1}$$

poiché  $\nabla \cdot \underline{E}_i = 0$  all'interno delle sfera la densità di corica

$$\bar{\rho} = 0$$

la densità di corica sulla superficie della sfera se si dà la sfera è equivalente ad un dipolo di momento  $\underline{p}$  antiparallelo ad  $\underline{E}_i$ :

Il campo elettrico all'esterno delle sfera in un punto

individuato dal vettore  $\underline{r}$  rispetto al centro della sfera è

$$\underline{E}_e = \frac{1}{4\pi\epsilon_0} \left( \frac{3(\underline{P} \cdot \underline{r}) \underline{r}}{r^5} - \frac{\underline{P}}{r^3} \right)$$

Detto  $\theta$  l'angolo tra  $\underline{r}$  e  $\underline{P}$  (ovvero tra  $\underline{r}$  ed  $\underline{\Xi}_i$ ) la sommazione delle componenti parallele alla superficie della sfera dà:

$$E_{i||} = -\underline{E}_i \sin\theta = E_{e||} = -\frac{1}{4\pi\epsilon_0} \frac{\underline{P}}{r^3} \sin\theta$$

$$P = |\underline{P}| = 4\pi\epsilon_0 \omega^3 |\underline{\Xi}_i| = 4\pi\epsilon_0 \omega^3 VB \sin\alpha = 1.4 \cdot 10^{-17} \text{ C m}$$

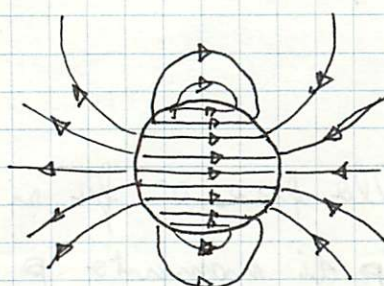
$$\underline{P} = 4\pi\epsilon_0 \omega^3 \underline{v} \times \underline{B}$$

$$\underline{E}_e = \frac{3[(\underline{v} \times \underline{B}) \cdot \hat{r}] \hat{r} - \underline{v} \times \underline{B}}{r^3} \omega^3$$

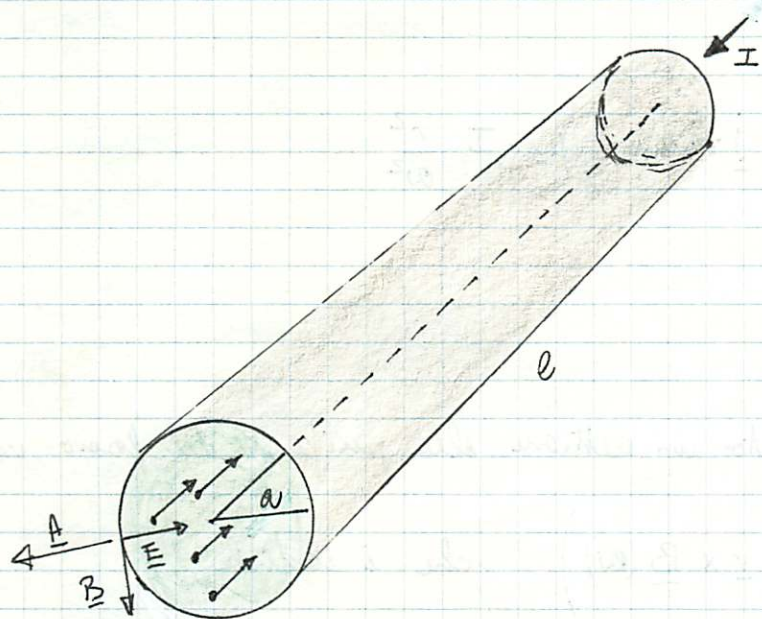
la densità di corica sulla superficie della sfera è data dal teorema di Gauss:

$$\sigma(\theta) = \epsilon_0 (\underline{E}_e - \underline{E}_i) \cdot \hat{r} = \epsilon_0 \left[ 3(\underline{v} \times \underline{B}) \cdot \hat{r} - (\underline{v} \times \underline{B}) \cdot \hat{r} + (\underline{v} \times \underline{B}) \cdot \hat{r} \right] =$$

$$= 3\epsilon_0 (\underline{v} \times \underline{B}) \cdot \hat{r} = -3\epsilon_0 VB \sin\alpha \cos\theta$$



Un fascio omogeneo di elettroni, precedentemente accelerati con una d.s.p.  $\Delta V = 3 \text{ kV}$ , ha intensità di corrente  $I = 0.5 \text{ nA}$  e sezione circolare di raggio  $a = 1.2 \text{ mm}$ . Determinare la velocità degli elettroni  $v$ , la densità di corico spaziale del fascio  $p$ , i vettori  $E$  ed  $B$  all'interno del fascio, l'accelerazione  $a$  cui è sottoposto un elettrone alla periferia del fascio, l'energia elettromagnetica e cinetica per unità di lunghezza del fascio.



$$\text{la velocità degli elettroni è } v = \sqrt{\frac{2e\Delta V}{m}} = 3.25 \cdot 10^7 \text{ m s}^{-1}$$

si noti che  $\beta = \frac{v}{c} = 0.108$  e quindi l'approssimazione non relativistica è accettabile.

la densità di corico p uniforme è legata alla stranza di corrente j

$$j = -nev = p v \quad p = \frac{j}{v} = \frac{-I}{\pi a^2 v} = -3.40 \cdot 10^{-12} \text{ C m}^{-3}$$

Il campo  $E$  è antiradiale; considerato un cilindro, coassiale al foro, di raggio  $r$  e lunghezza  $l$  si ha:

$$\oint \underline{E} \cdot d\underline{l} = - E 2\pi r l = \int \frac{P}{\epsilon_0} dV = - \frac{I}{\pi \alpha^2 \epsilon_0} l \pi \alpha^2$$

$$E(r) = \frac{I}{2\pi \epsilon_0 r v}$$

Il campo  $B$  è tangenziale; considerato un cerchio, coassiale al foro, di raggio  $r$  si ha:

$$\oint \underline{B} \cdot d\underline{l} = B 2\pi r = \mu_0 \int \underline{j} \cdot \hat{n} dS = \mu_0 I \frac{r^2}{\alpha^2}$$

$$B(r) = \frac{\mu_0 I r}{2\pi \alpha^2}$$

l'accelerazione a cui è sottoposta un elettrone allo periferia del foro vale:

$$\underline{A} = \frac{1}{m} \underline{F} = \frac{1}{m} \left( -e \underline{E}(r) - e \underline{v} \times \underline{B}(r) \right) \quad \text{che è radiale}$$

$$\begin{aligned} \underline{A} &= \frac{e}{m} \underline{E}(r) - \frac{e}{m} \underline{v} \times \underline{B}(r) = \frac{e}{m} \frac{I}{2\pi \alpha^2} \left( \frac{1}{\epsilon_0 v} - \mu_0 v \right) = \\ &= - \frac{e}{m} \frac{I}{2\pi \alpha^2} \mu_0 v \left( 1 - \frac{1}{\mu_0 \epsilon_0 v^2} \right) = - \frac{e}{m} \frac{I}{2\pi \alpha^2} \mu_0 v \left( 1 - \frac{c^2}{v^2} \right) = +2.00 \cdot 10^7 \text{ ms}^{-2} \end{aligned}$$

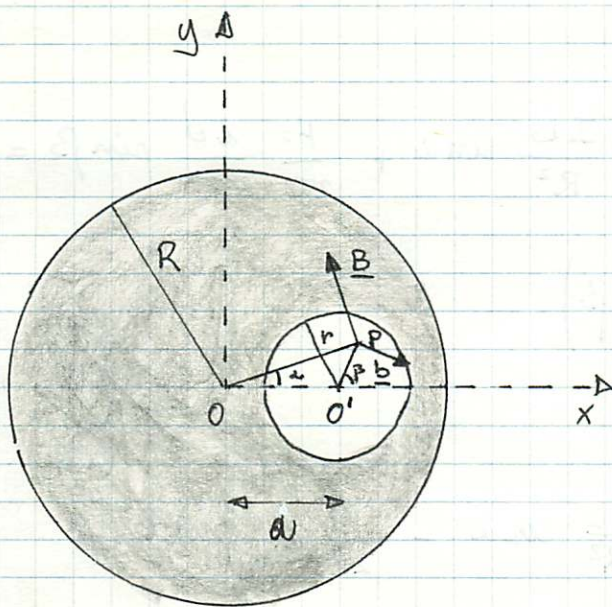
$$\text{La densità di energia e.m. vale } W(r) = \frac{1}{2} \epsilon_0 \underline{E}(r)^2 + \frac{1}{2\mu_0} \underline{B}(r)^2 = \frac{\mu_0 I^2 r^2}{8\pi^2 \alpha^4} \left( \frac{c^2}{v^2} + 1 \right)$$

$$\text{L'energia e.m. per unità di lunghezza è: } \frac{dW}{dl} = \int_0^l W(r) 2\pi r dr = \frac{\mu_0 I^2}{15\pi} \left( \frac{c^2}{v^2} + 1 \right) = 5.4 \cdot 10^{-25} \text{ J m}^{-1}$$

$$\text{La densità di energia cinetica vale } W = \frac{1}{2} m v^2 = \frac{P}{e} \text{ costante}$$

$$\text{L'energia cinetica per unità di lunghezza è } \frac{dW}{dl} = W \pi \alpha^2 = \frac{I m v}{2e} = 4.6 \cdot 10^{-14} \text{ J m}^{-1}$$

Un filo cilindrico indefinito di raggio  $R$  con una cavità cilindrica di raggio  $r$  e distanza  $a$  dall'asse è percorso da una densità di corrente  $\underline{J}$  uniforme. Si calcoli  $\underline{B}$  in un punto generico delle cavità.



Detto  $z$  l'asse del filo si ha  $\underline{J} = J \hat{z}$

La corrente totale che scorre nel filo è:

$$I_{tot} = J(\pi R^2 - \pi r^2) = I - i$$

dove  $I = J\pi R^2$  è la corrente del filo senza cavità

$i = J\pi r^2$  è la corrente della cavità

Nel conduttore cilindrico con corrente  $I$  uniforme il campo a distanza  $D$  dall'asse vale:

$$B \cdot 2\pi D = \mu_0 I \frac{D^2}{R^2}$$

$$B(D) = \frac{\mu_0}{2\pi} \frac{ID}{R^2}$$

analogamente per la cavità

$$b(d) = \frac{\mu_0}{2\pi} \frac{id}{r^2}$$

$$\text{Porto } D = |OP| \quad d = |O'P'|$$

$$\alpha = \hat{PO'} \quad \beta = -\hat{PO} + \pi$$

Nel punto P si ha:  $B_z(P) = 0$

$$B_x(P) = B_x(D) + b_x(d) = -\frac{\mu_0}{2\pi} \frac{ID}{R^2} \sin \alpha + \frac{\mu_0}{2\pi} \frac{id}{r^2} \sin \beta = \\ = \frac{\mu_0 J}{2} \left( -D \sin \alpha + d \sin \beta \right)$$

$$B_y(P) = B_y(D) + b_y(d) = \frac{\mu_0}{2\pi} \frac{ID}{R^2} \cos \alpha - \frac{\mu_0}{2\pi} \frac{id}{r^2} \cos \beta = \\ = \frac{1}{2} \mu_0 J \left( D \cos \alpha - d \cos \beta \right)$$

D ed  $\alpha$  possono essere espressi in termini di  $d$  e  $\beta$  tramite le relazioni:

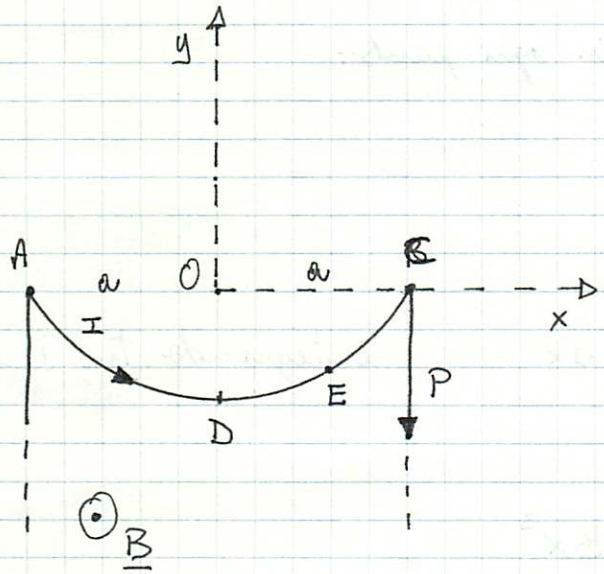
$$D = \sqrt{a^2 + d^2 + 2ad \cos \beta}$$

$$\frac{D}{\sin \beta} = \frac{d}{\sin \alpha}$$

(1)

Un filo conduttore flessibile inestensibile e di massa trascurabile è tenuto teso tra i punti A e C distinti da mediente una forza per unità di lunghezza  $P$  applicata in C. Il filo è percorso da corrente I ed è immerso in un campo di induzione magnetica  $\underline{B}$  uniforme parallela al suolo. Determinare la configurazione di equilibrio del filo.

---



Vogliamo determinare la traiettoria del filo  $y(x)$  tra i punti A e C

Per motivi di simmetria deve essere  $y(-x) = y(x)$  con  $y(x) < 0$  per  $\underline{B}$  ed I orientati come in figura.

Su un tratto infinitesimo di filo intorno al punto di coordinate  $x$  e  $y$  la forza magnetica vale:

$$d\underline{F} = I d\underline{l} \times \underline{B} = I \begin{vmatrix} \hat{i} & \hat{j} & \hat{k} \\ dx & dy & 0 \\ 0 & 0 & B \end{vmatrix} = \hat{i} I B dy - \hat{j} I B dx$$

In ogni punto del filo la tensione vale  $\tau = P$  ed ha orientazione variabile

l'equilibrio del punto di filo DE dove  $D \equiv (\theta, -h)$   $E \equiv (x, y)$   
do:

$$\begin{cases} \tau_x + \int_D^E dF_x = 0 \\ \tau_y + \int_D^E dF_y = 0 \end{cases} \quad \begin{cases} \tau_x + IB(y+h) - P = 0 \\ \tau_y - IBx = 0 \end{cases}$$

essendo in D  $\underline{\tau} \equiv -\hat{x}\tau = -\hat{x}P$

Poiché  $\underline{\tau}$  è tangente al filo in ogni punto:

$$\frac{dy(x)}{dx} = \frac{\tau_y}{\tau_x} = \frac{IBx}{P - IB(y+h)}$$

$$[P - IB(y+h)] dy = IBx dx \quad \text{integrande tra D ed E}$$

$$P(y+h) - \frac{1}{2} IB(y+h)^2 = \frac{1}{2} IBx^2$$

$$x^2 + (y+h)^2 - 2(y+h) \frac{P}{IB} + \left(\frac{P}{IB}\right)^2 - \left(\frac{P}{IB}\right)^2 = 0$$

$$x^2 + \left(y + h - \frac{P}{IB}\right)^2 = \left(\frac{P}{IB}\right)^2$$

che è l'equazione di una circonferenza di raggio  $\frac{P}{IB}$  e centro  
in  $(0, \frac{P}{IB} - h)$

Nei punti A e C  $(\pm a, 0)$  l'equazione della traiettoria  
permette di determinare h:

$$a^2 + \left(h - \frac{P}{IB}\right)^2 = \left(\frac{P}{IB}\right)^2$$

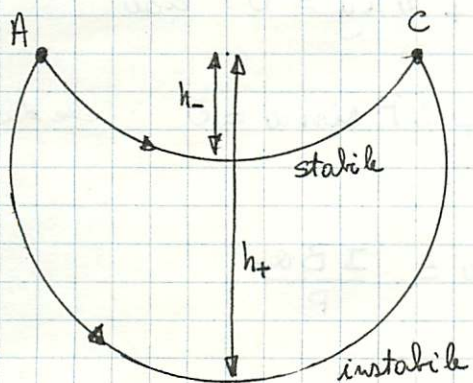
(2)

$$h = \pm \sqrt{\left(\frac{P}{IB}\right)^2 - \omega^2} + \frac{P}{IB}$$

de la soluzione reale se  $\frac{P}{IB} \geq \omega$  cioè  $P \geq IB\omega$

si può vedere che  $h = \frac{P}{IB} - \sqrt{\left(\frac{P}{IB}\right)^2 - \omega^2}$  corrisponde ad un equilibrio stabile

$h = \frac{P}{IB} + \sqrt{\left(\frac{P}{IB}\right)^2 - \omega^2}$  equilibrio instabile.



2<sup>o</sup> metodo

la traiettoria del filo deve essere un arco di circonferenza poiché questo è la traiettoria di una corrente in campo  $B$  uniforme.

La forza magnetica totale agente sul tratto  $AC$  vale:

$$F_x = \int_0^a I B dy = 0 \quad F_y = \int_{-a}^a -IB dx = -2IBa$$

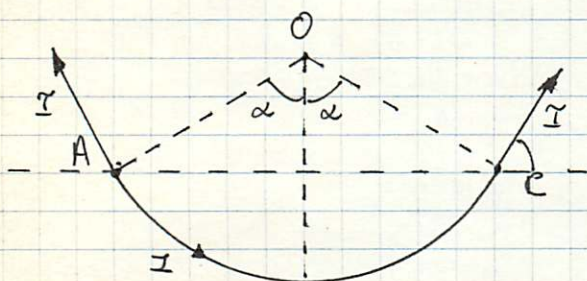
$F_y$  è equilibrata dalle tensioni, di modulo  $P$ , in  $A$  e  $C$ .

Detto  $\alpha$  l'ampiezza angolare dell'arco di circonferenza  $AC$  si ha:

$$F_y + 2T_y = 0 \quad \text{cioè}$$

$$F_y + 2P \sin \alpha = 0 \quad \text{cioè}$$

$$\sin \alpha = \frac{IBa}{P}$$

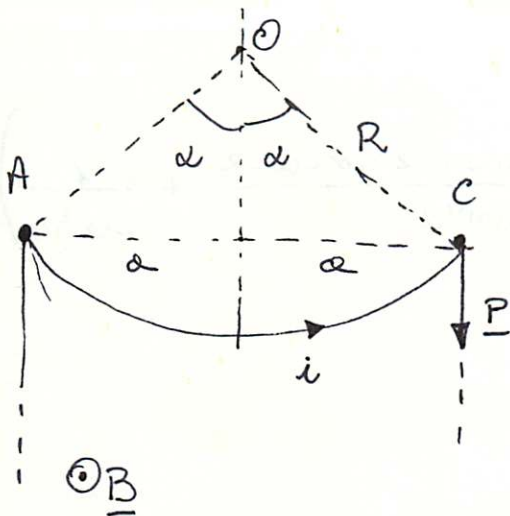


$$\text{che ha soluzioni} \quad \alpha = \arcsin \left( \frac{IBa}{P} \right) \quad < \frac{\pi}{2}$$

$$\alpha = \pi - \arcsin \left( \frac{IBa}{P} \right) \quad > \frac{\pi}{2}$$

solo se  $P \geq IBa$

(3)

3° metodo

quando il filo forma un arco di cerchio di raggio

$$R \text{ ed apertura } 2\alpha \quad \text{con} \quad \alpha = R \sin \alpha$$

l'energia del circuito nel campo B vale

$$U_m = - \underline{m} \cdot \underline{B} = i S B = i B \left[ S_0 - \frac{\text{area}}{\text{circolare}} \right] =$$

$$= i B \left[ S_0 - \left( \alpha R^2 - \alpha \frac{a}{\tan \alpha} \right) \right] =$$

$$= i B \left[ S_0 - \alpha^2 \left( \frac{\alpha}{\sin^2 \alpha} - \frac{1}{\tan \alpha} \right) \right]$$

in queste stesse configurazioni l'energia gravitazionale vale

$$U_g = P \ell = P (2\alpha R - 2\alpha) = 2P \alpha \left( \frac{\alpha}{\sin \alpha} - 1 \right)$$

avendo posto  $U_p = 0$  per  $\alpha = 0$

L'energia totale è  $U_m(\alpha) + U_g(\alpha)$

all'equilibrio  $\frac{d}{d\alpha} (U_m + U_g) = 0$

$$\frac{d}{d\alpha} \left( M_m + M_g \right) = -iB\omega^2 \left( \frac{\sin^2\alpha - \alpha^2 \sin\alpha \cos\alpha}{\sin^4\alpha} + \frac{1}{\sin^2\alpha} \right) +$$

$$+ 2P\alpha \frac{\sin\alpha - \alpha \cos\alpha}{\sin^2\alpha} =$$

$$= -2iB\omega^2 \frac{\sin\alpha - \alpha \cos\alpha}{\sin^3\alpha} + 2P\alpha \sin\alpha \frac{\sin\alpha - \alpha \cos\alpha}{\sin^3\alpha} = 0$$

$$2P\alpha \sin\alpha = 2iB\omega^2$$

$$\boxed{\sin\alpha = \frac{iB\omega}{P}}$$

si hanno due soluzioni se  $iB\omega < P$

$$\begin{cases} \omega = \arccos \left( \frac{iB\omega}{P} \right) < \frac{\pi}{2} \\ \omega = \pi - \arccos \left( \frac{iB\omega}{P} \right) \end{cases}$$

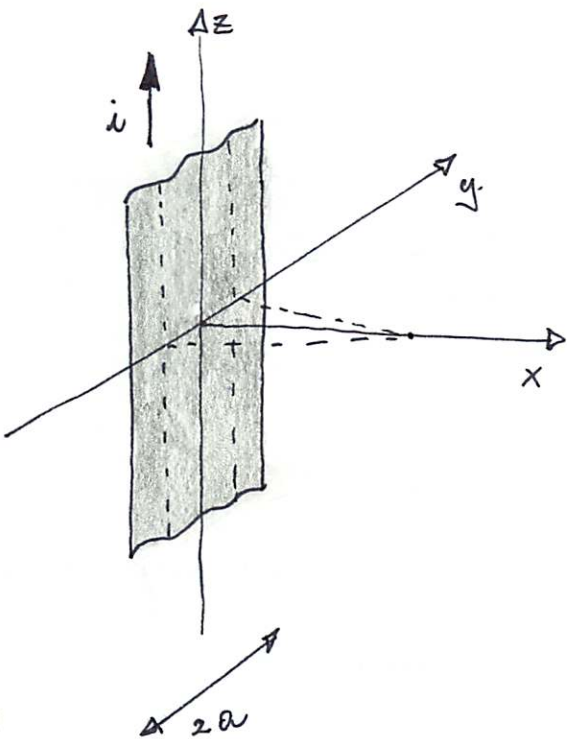
equilibrio stabile  $\frac{d^2U}{d\omega^2} > 0$

instabile  $\frac{d^2U}{d\omega^2} < 0$

nessuno se  $iB\omega > P$

un'unica soluzione ( $\omega = \frac{\pi}{2}$ ) se  $iB\omega = P$

(1)



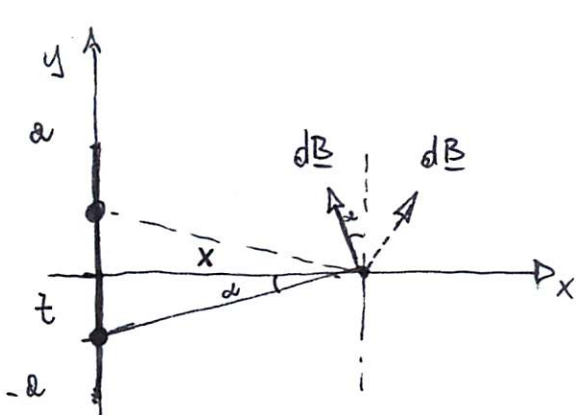
Un mastro conduttore di lunghezza infinita e larghezza  $2a$  è percorso da una corrente continua  $i$ . Determinare l'induzione magnetica  $\underline{B}$  nei punti dell'asse  $x$  edell'asse  $y$ .

In ogni punto dell'asse  $x$   $(x, 0, 0)$   $\underline{B}$  ha componenti

$$B_x(x, 0, 0) = B_z(x, 0, 0) = 0 \quad B_y(x, 0, 0) \neq 0$$

usando le formule di Biot - Savart:  $(B = \frac{\mu_0 i}{2\pi r})$

$$dB_y(x, 0, 0) = 2 \frac{\mu_0}{2\pi} \frac{1}{x/\cos\alpha} \left( \frac{i}{2a} \frac{x}{\cos^2\alpha} d\alpha \right) \cos\alpha$$



$$\begin{aligned} di &= \frac{i}{2a} dt = \frac{i}{2a} d(\tan\alpha \cdot x) \\ &= \frac{i}{2a} \frac{x}{\cos^2\alpha} d\alpha \end{aligned}$$

$$dB_y(x, 0, 0) = \frac{\mu_0}{\pi} \frac{i}{2a} d\alpha$$

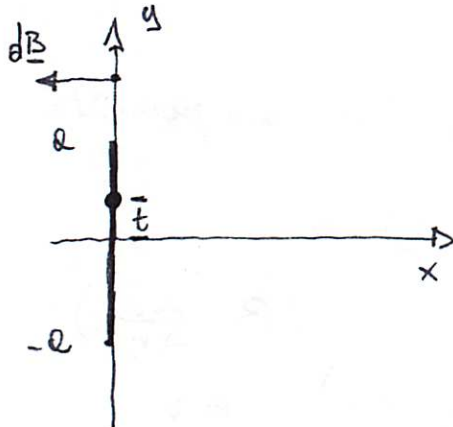
$$B_y(x, 0, 0) = \int_0^{\omega_0} \frac{\mu_0 i}{2\pi a} da = \frac{\mu_0 i}{2\pi a} \omega_0$$

$$\tan \omega_0 = \frac{a}{x}$$

$$B_y(x, 0, 0) = \frac{\mu_0 i}{2\pi a} \arctan\left(\frac{a}{x}\right)$$

In ogni punto dell'asse  $y$  ( $0, y, 0$ )  $\underline{B}$  ha componenti

$$B_y(0, y, 0) = B_z(0, y, 0) = 0 \quad B_x(0, y, 0) \neq 0$$



$$dB_x(0, y, 0) = -\frac{\mu_0}{2\pi} \frac{1}{y-t} \frac{i}{2\omega} dt$$

$$B_x(0, y, 0) = \int_{-a}^a \frac{\mu_0 i}{2\pi a} \frac{dt}{t-y} =$$

$$= \frac{\mu_0 i}{2\pi a} \left[ \ln(t-y) \right]_{-a}^a = \frac{\mu_0 i}{2\pi a} \ln\left(\frac{a-y}{-a-y}\right)$$

$$B_x(0, y, 0) = \frac{\mu_0 i}{2\pi a} \ln\left(\frac{y-a}{y+a}\right)$$

equivalentemente si può usare le formule

$$\underline{B}(x, y, z) = \frac{\mu_0}{4\pi} \int \frac{\underline{J}(x', y', z') \times (\underline{x} - \underline{x}')}{|\underline{x} - \underline{x}'|^3} d^3x'$$

$$\underline{J}(x, y, z) = \hat{z} \frac{i}{2a} S(x) \cdot \begin{cases} 1 & |y| < a \\ 0 & |y| > a \end{cases}$$

lungo l'asse  $x$  cioè per  $\underline{x} \equiv (x, 0, 0)$  si ha

$$\hat{z} \times (\underline{x} - \underline{x}') = \begin{vmatrix} \hat{x} & \hat{y} & \hat{z} \\ 0 & 0 & 1 \\ x - x' & -y' & -z' \end{vmatrix} = \hat{x} y' + \hat{y} (x - x')$$

quindi  $B_z(x, 0, 0) = 0$

$$\bullet B_x(x, 0, 0) = \frac{\mu_0 i}{4\pi a \cdot 2} \int_{-a}^a dy' \int_{-\infty}^{+\infty} dx' \int_{-\infty}^{+\infty} dz' \frac{S(x') y'}{\left[ (x - x')^2 + y'^2 + z'^2 \right]^{3/2}}$$

$$= \frac{\mu_0 i}{8\pi a} \int_{-a}^a dy' \int_{-\infty}^{+\infty} dz' \frac{y'}{\left( y'^2 + z'^2 \right)^{3/2}} = 0$$

$$\bullet B_y(x, 0, 0) = \frac{\mu_0 i}{8\pi\alpha} \int_{-\infty}^{\infty} dy' \int_{-\infty}^{+\infty} dz' \frac{x}{(x^2 + y'^2 + z'^2)^{3/2}} =$$

meti de

$$\int_{-\infty}^{+\infty} dz \frac{1}{(A^2 + z^2)^{3/2}} = \frac{2}{A^3} \int_0^{\infty} dz \left[ \frac{A}{\sqrt{A^2 + z^2}} \right]^3 =$$

$$= \frac{2}{A^3} \int_{\frac{\pi}{2}}^0 \sin^3 \beta \frac{-A d\beta}{\sin^2 \beta} = \frac{A}{\sqrt{A^2 + z^2}} = \sin \beta$$

$$- \frac{A z dz}{(A^2 + z^2)^{3/2}} = -\frac{1}{A} \sin^2 \beta \cos \beta = \cos \beta d\beta$$

$$= \frac{2}{A^2} \int_0^{\frac{\pi}{2}} \sin \beta d\beta = \frac{2}{A^2} \left[ -\cos \beta \right]_0^{\frac{\pi}{2}} = \frac{2}{A^2}$$

$$B_y(x, 0, 0) = \frac{\mu_0 i x}{8\pi\alpha} \cdot \int_{-\infty}^{\infty} dy' \frac{2}{x^2 + y'^2} =$$

$$= \frac{\mu_0 i}{4\pi\alpha} \int_{-\frac{\alpha}{x}}^{\frac{\alpha}{x}} dt \frac{1}{1+t^2} = \frac{\mu_0 i}{2\pi\alpha} \operatorname{arctan}\left(\frac{\alpha}{x}\right)$$

$$\bullet B_z(x, 0, 0) = 0$$

(3)

lungo l'asse  $y$  cioè per  $\underline{x} = (0, y, 0)$  si ha:

$$\hat{\underline{z}} \times (\underline{x} - \underline{x}') = \begin{vmatrix} \hat{x} & \hat{y} & \hat{z} \\ 0 & 0 & 1 \\ -x' & y-y' & -z' \end{vmatrix} = \hat{x}(y'-y) - \hat{z}x'$$

$$B_x(0, y, 0) = \frac{\mu_0 i}{8\pi a} \int_{-a}^a dy' \int_{-\infty}^{+\infty} dz' \cdot \frac{y'-y}{[(y-y')^2 + z'^2]^{3/2}} =$$

$$= \frac{\mu_0 i}{8\pi a} \int_{-a}^a dy' (y'-y) \cdot \frac{1}{(y-y')^2} =$$

$$= \frac{\mu_0 i}{8\pi a} \cdot \int_{-a}^a dy' \frac{1}{y'-y} = \frac{\mu_0 i}{2\pi a} \ln\left(\frac{a-y}{-a-y}\right)$$

$$= \frac{\mu_0 i}{4\pi a} \ln\left(\frac{y-a}{y+a}\right)$$

$$B_y(0, y, 0) = 0$$

$$B_z(0, y, 0) = \frac{\mu_0 i}{8\pi a} \int_{-a}^a dy' \int_{-\infty}^{+\infty} dz' \int_{-\infty}^{+\infty} dx' \cdot \frac{-\delta(x') x'}{[x'^2 + (y-y')^2 + z'^2]^{3/2}} = 0$$

Il potenziale vettore è:

$$\underline{A}(x, y, z) = \frac{\mu_0}{4\pi} \int \frac{\bar{J}(x')}{|x - x'|} d^3x'$$

nei punti dell'asse  $x$

$$A_x(x, 0, 0) = A_y(x, 0, 0) = \text{costante} = 0$$

$$A_z(x, 0, 0) = \frac{\mu_0}{4\pi} \frac{i}{2a} \int_{-\infty}^a dy' \int_{-\infty}^{+\infty} dz' \frac{1}{\sqrt{x^2 + y'^2 + z'^2}} + \text{costante} =$$

$$= \frac{\mu_0}{4\pi} \frac{i}{2a} \int_{-\infty}^a dy' \left[ \ln(z' + \sqrt{x^2 + y'^2 + z'^2}) \right]_{-\infty}^{+\infty} + \text{costante} =$$

$$= \frac{\mu_0}{4\pi} \frac{i}{2a} \int_{-\infty}^a dy' \lim_{L \rightarrow \infty} \ln \left( \frac{1 + \sqrt{1 + (x^2 + y'^2)/L^2}}{-1 + \sqrt{1 + (x^2 + y'^2)/L^2}} \right) + \text{costante} =$$

$$= \frac{\mu_0}{4\pi} \frac{i}{a} \int_{-\infty}^a dy' \lim_{L \rightarrow \infty} \ln \left( \frac{2}{\frac{1}{2}(x^2 + y'^2)/L^2} \right) + \text{costante} =$$

$$= \frac{\mu_0}{4\pi} \frac{i}{a} \int_{-\infty}^a dy' \lim_{L \rightarrow \infty} \ln 4L^2 - \ln(x^2 + y'^2) + \text{costante} =$$

$$= -\frac{\mu_0}{4\pi} \frac{i}{a} \int_{-\infty}^a dy' \ln(x^2 + y'^2) =$$

(4)

$$= -\frac{\mu_0 i}{2\pi \alpha} \left[ y' \ln(x^2 + y'^2) - 2y' + 2x \arctan\left(\frac{y'}{x}\right) \right]_{-2}^2 =$$

$$= -\frac{\mu_0 i}{2\pi \alpha} \left[ \alpha \ln(x^2 + y'^2) - 2\alpha + 2x \arctan\left(\frac{\alpha}{x}\right) \right]$$

$$\underline{B}_y(x, 0, 0) = \left[ \nabla \times \underline{A}(x, 0, 0) \right]_y = \begin{vmatrix} \hat{i} & \hat{j} & \hat{k} \\ \frac{\partial}{\partial x} & \frac{\partial}{\partial y} & \frac{\partial}{\partial z} \\ 0 & 0 & A_z(x, 0, 0) \end{vmatrix} =$$

$$= -\frac{\partial}{\partial x} A_z(x, 0, 0) =$$

$$= -\frac{\mu_0 i}{2\pi \alpha} \left[ \cancel{\alpha} \frac{\cancel{2x}}{\cancel{\alpha^2} + x^2} + 2 \arctan\left(\frac{\alpha}{x}\right) + \cancel{2x} \frac{1}{1 + \cancel{\frac{\alpha^2}{x^2}}} \left( -\frac{\alpha}{x^2} \right) \right] =$$

$$= \frac{\mu_0 i}{2\pi \alpha} \arctan\left(\frac{\alpha}{x}\right)$$

Nei punti dell'asse  $y$

$$A_x(0, y, 0) = A_y(0, y, 0) = 0$$

$$A_z(0, y, 0) = \frac{\mu_0 i}{2\pi a} \int_{-a}^a dy' \int_{-\infty}^{+\infty} dz' \frac{1}{\sqrt{(y-y')^2 + z'^2}} + \text{costante} =$$

$$= - \frac{\mu_0 i}{2\pi a} \int_{-a}^a dy' \ln [(y-y')^2] =$$

$$= \frac{\mu_0 i}{2\pi a} \int_{y+a}^{y-a} dt \ln t = \frac{\mu_0 i}{2\pi a} \left[ t \ln t - t \right]_{y+a}^{y-a}$$

$$= \frac{\mu_0 i}{2\pi a} \left[ y \ln \left( \frac{y-a}{y+a} \right) - a \ln \left( \frac{y-a}{y+a} \right) + 2a \right]$$

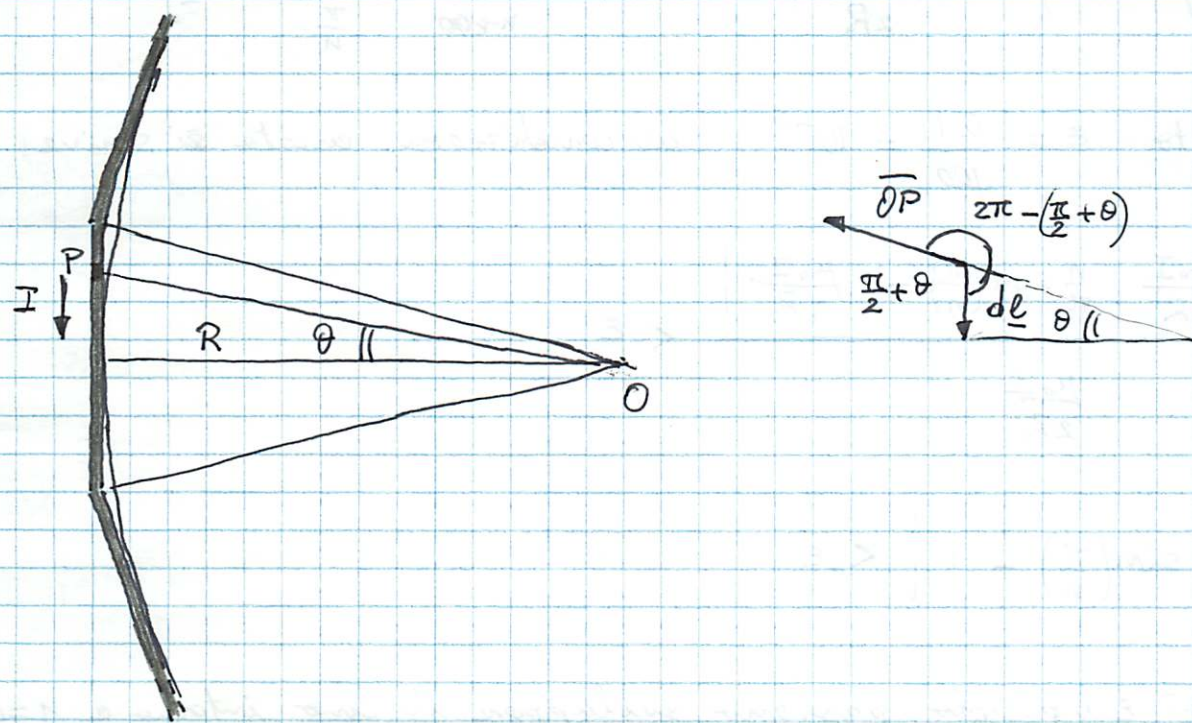
$$B_x(0, y, 0) = \left[ \nabla \times A(0, y, 0) \right]_x = \frac{\partial}{\partial y} A_z(0, y, 0) =$$

$$= \frac{\mu_0 i}{2\pi a} \left[ \ln \left( \frac{y-a}{y+a} \right) + y \frac{y+a}{y-a} \frac{\cancel{y+a-y-a}}{(y+a)^2} - a \frac{ey}{y^2-a^2} \right] =$$

$$= \frac{\mu_0 i}{2\pi a} \ln \left( \frac{y-a}{y+a} \right)$$

Si trovi l'espressione dell'induzione magnetica  $\underline{B}$  al centro di una spira, a forma di poligono regolare di  $n \geq 3$  lati circoscritto attorno ad un cerchio di raggio  $R$ , percorso da una corrente  $I$ . Si determini il valore minimo di  $n$  per cui il campo trovato diffinisce da quello di una spira circolare di raggio  $R$  per meno dello 0.1%.

---



In un poligono di  $n$  lati ogni lato è sotteso da un angolo  $\frac{2\pi}{n}$ . Si consideri l'elemento infinitesimo di lato,  $P$ , avente lunghezza  $d\u03b9 = d(R \tan \theta) = \frac{R}{\cos^2 \theta} d\theta$  e orientato nel verso della corrente

Dalle prime formule di Laplace il contributo infinitesimo all'induzione magnetica in  $O$  dato da questo elemento vale:

$$d\underline{B} = \frac{\mu_0 I}{4\pi} \frac{d\u03b9 \times \overline{OP}}{|OP|^3} = \frac{\mu_0 I}{4\pi} \frac{R}{\cos^2 \theta} d\theta \left( \frac{\cos \theta}{R} \right)^2 \sin \left[ 2\pi - \left( \frac{\pi}{2} + \theta \right) \right] \hat{k}$$

essendo  $\hat{k}$  il versore ortogonale al piano dove giace il poligono nel verso determinato dalla corrente.

$$dB = \frac{\mu_0 I}{4\pi R} \cos\theta d\theta$$

L'induzione magnetica totale vale  $B = B \hat{n}$  con

$$B = n \int_{-\pi/n}^{\pi/n} \frac{\mu_0 I}{4\pi R} \cos\theta d\theta = n \frac{\mu_0 I}{4\pi R} \left[ \sin\theta \right]_{-\pi/n}^{\pi/n} = n \frac{\mu_0 I}{2\pi R} \sin\left(\frac{\pi}{n}\right)$$

per  $n \rightarrow \infty$  si riattinge il campo di una spira circolare di raggio  $R$ ,  $B = \frac{\mu_0 I}{2R}$ , scrivendo  $\lim_{n \rightarrow \infty} \frac{\sin(\pi/n)}{\pi/n} = 1$

Posto  $\varepsilon = \frac{0.1}{100} = 10^{-3}$  la condizione cercata si scrive

$$\left| \frac{\frac{\mu_0 I}{2R}}{\frac{\mu_0 I}{2R}} \frac{n}{\pi} \sin\left(\frac{\pi}{n}\right) - 1 \right| < \varepsilon$$

$$\left| \frac{n}{\pi} \sin\left(\frac{\pi}{n}\right) - 1 \right| < \varepsilon$$

Poiché  $\varepsilon$  è piccolo possiamo sviluppare il seno intorno a  $n=0$

$$\begin{aligned} \left| \frac{n}{\pi} \left( \frac{\pi}{n} - \left(\frac{\pi}{n}\right)^3 + \dots \right) - 1 \right| &= \left| \left( 1 - \left(\frac{\pi}{n}\right)^2 + \dots \right) - 1 \right| = \\ &= \left( \frac{\pi}{n} \right)^2 + O\left( \left(\frac{\pi}{n}\right)^4 \right) < \varepsilon \end{aligned}$$

Il minimo valore di  $n$  richiesto è

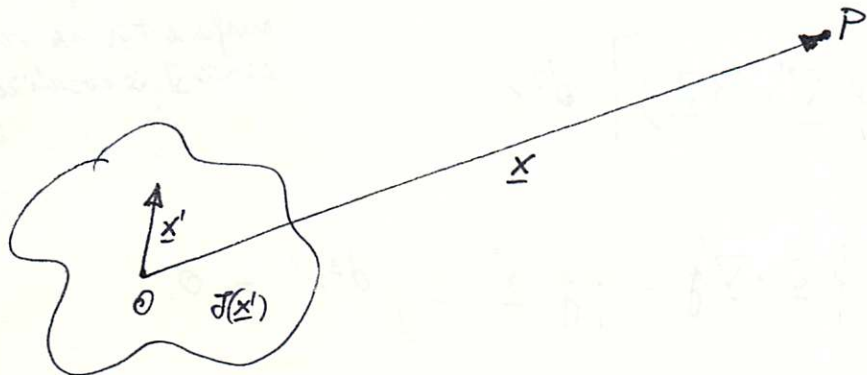
$$n = \left\lfloor \frac{\pi}{\sqrt{\varepsilon}} \right\rfloor + 1 = \left\lfloor 99.346 \right\rfloor + 1 = 100$$

# Magnetic field of a localized current distribution:

(1)

## Magnetic Moment

Let us consider a general current distribution which is localized in a space region small with respect to the scale of length of interest.



$$\underline{A}(\underline{x}) = \frac{\mu_0}{4\pi} \int \underline{J}(\underline{x}') \frac{1}{|\underline{x} - \underline{x}'|} d^3x'$$

when  $|\underline{x}| \gg |\underline{x}'|$

$$\frac{1}{|\underline{x} - \underline{x}'|} = \frac{1}{|\underline{x}|} + \frac{\underline{x} \cdot \underline{x}'}{|\underline{x}|^3} + \dots$$

$$= \frac{1}{(\underline{x}^2 + \underline{x}'^2 - 2\underline{x} \cdot \underline{x}')^{\frac{1}{2}}} = \frac{1}{\underline{x}} \left( 1 + \frac{\underline{x}'^2}{\underline{x}^2} - 2 \frac{\underline{x} \cdot \underline{x}'}{\underline{x}^2} \right)^{-\frac{1}{2}} =$$

$$= \frac{1}{\underline{x}} \left( 1 - \frac{1}{2} \frac{\underline{x}'^2}{\underline{x}^2} + \frac{\underline{x} \cdot \underline{x}'}{\underline{x}^2} + \dots \right) = \frac{1}{\underline{x}} \left[ 1 + \frac{\underline{x} \cdot \underline{x}'}{\underline{x}^2} + O\left(\frac{1}{\underline{x}^2}\right) \right]$$

$$A_i(\underline{x}) = \frac{\mu_0}{4\pi} \frac{1}{|\underline{x}|} \int J_i(\underline{x}') d^3x' + \frac{\mu_0}{4\pi} \frac{\underline{x}}{|\underline{x}|^3} \cdot \int J_i(\underline{x}') \underline{x}' d^3x' + \dots$$

because  $\underline{J}(\underline{x})$  is localized and divergenceless (steady state)

$$\begin{aligned} & \int (\underline{f} \underline{J}(\underline{x}') \cdot \nabla' g + g \underline{J}(\underline{x}') \cdot \nabla' \underline{f}) d^3x' = \text{integrating by parts} \\ &= \int [\underline{f} \underline{J} \cdot \nabla' g - \underline{f} \nabla' \cdot (\underline{g} \underline{J})] d^3x' = \text{and assuming that the} \\ & \quad \text{surface terms vanish since } \underline{J} \text{ is localized} \\ &= \int (\underline{f} \underline{J} \cdot \nabla' g - \underline{f} \underline{J} \cdot \nabla' \underline{g} - \underline{f} \underline{g} \nabla' \cdot \underline{J}) d^3x' = 0 \end{aligned}$$

with  $f(\underline{x}')$  and  $g(\underline{x}')$  arbitrary well-behaved functions.

$$\text{With } f=1 \text{ and } g=x'_i \Rightarrow \int J_i(\underline{x}') d^3x' = 0 \quad \text{absence of monopole term!}$$

$$\text{with } f=x'_i \text{ and } g=x'_j \Rightarrow \int (x'_i J_j + x'_j J_i) d^3x' = 0$$

then

$$\begin{aligned} \underline{x} \cdot \int \underline{x}' J_i d^3x' &= \sum_j x_j \int x'_j J_i d^3x' = \\ &= \frac{1}{2} \sum_j x_j \int x'_j J_i d^3x' + \frac{1}{2} \sum_j x_j \int (-x'_i J_j) d^3x' = \\ &= -\frac{1}{2} \sum_j x_j \int (x'_i J_j - x'_j J_i) d^3x' = \end{aligned}$$

$$\begin{aligned}
 &= -\frac{1}{2} \sum_{jk\kappa} \varepsilon_{ijk\kappa} x_j \int (\underline{x}' \times \underline{J})_\kappa d^3x' = \\
 &= -\frac{1}{2} \left[ \underline{x} \times \int (\underline{x}' \times \underline{J}) d^3x' \right]_i \\
 &\quad \varepsilon_{ijk\kappa} (\underline{x}' \times \underline{J})_\kappa = \\
 &\quad = \varepsilon_{ijk\kappa} x'_\ell J_m \varepsilon_{\ell m\kappa} = \\
 &\quad = (\delta_{il} \delta_{jm} - \delta_{im} \delta_{jl}) x'_\ell J_m = \\
 &\quad = x'_i J_j - x'_j J_i
 \end{aligned}$$

$$\boxed{\underline{x} \cdot \int \underline{x}' J_i d^3x' = \underline{m} \times \underline{x}}$$

Defining the magnetic moment of the current distribution or

$$\boxed{\underline{m} = \frac{1}{2} \int \underline{x}' \times \underline{J}(x') d^3x'}$$

the vector potential is:

$$\underline{A}(\underline{x}) = \frac{\mu_0}{4\pi} \frac{\underline{m} \times \underline{x}}{|\underline{x}|^3} + \mathcal{O}\left(\frac{1}{|\underline{x}|^3}\right)$$

$$\underline{B}(\underline{x}) = \nabla \times \underline{A}(\underline{x}) = \frac{\mu_0}{4\pi} \nabla \times \left( \underline{m} \times \frac{\underline{x}}{|\underline{x}|^3} \right) =$$

$$= \frac{\mu_0}{4\pi} \left[ \underline{m} \left( \nabla \cdot \frac{\underline{x}}{|\underline{x}|^3} \right) - \cancel{\frac{\underline{x}}{|\underline{x}|^3} (\nabla \cdot \underline{m})} + \cancel{\left( \frac{\underline{x}}{|\underline{x}|^3} \cdot \nabla \right) \underline{m}} - \left( \underline{m} \cdot \nabla \right) \frac{\underline{x}}{|\underline{x}|^3} \right] =$$

$$= \frac{\mu_0}{4\pi} \left[ \underline{m} \left( \frac{1}{|\underline{x}|^3} \nabla \cdot \underline{x} + \underline{x} \cdot \nabla \frac{1}{|\underline{x}|^3} \right) - \sum_i \hat{x}_i \underline{m} \cdot \nabla \frac{x_i}{|\underline{x}|^3} \right] =$$

$$= \frac{\mu_0}{4\pi} \left[ \underline{m} \left( \frac{1}{|\underline{x}|^3} \underline{x} \cdot \underline{x} + \cancel{\underline{x} \cdot \frac{3\hat{x}}{|\underline{x}|^4}} \right) - \sum_i \hat{x}_i \underline{m} \cdot \left[ \frac{1}{|\underline{x}|^3} \nabla x_i + x_i \nabla \frac{1}{|\underline{x}|^3} \right] \right] =$$

$$= -\frac{\mu_0}{4\pi} \sum_i \hat{x}_i \cdot \underline{m} \cdot \left[ \frac{1}{x^3} \hat{x}_i + x_i \frac{-3\hat{x}}{x^4} \right]$$

$$\underline{B}(x) = \frac{\mu_0}{4\pi} \frac{3\hat{x}(\hat{x} \cdot \underline{m}) - \underline{m}}{|x|^3}$$

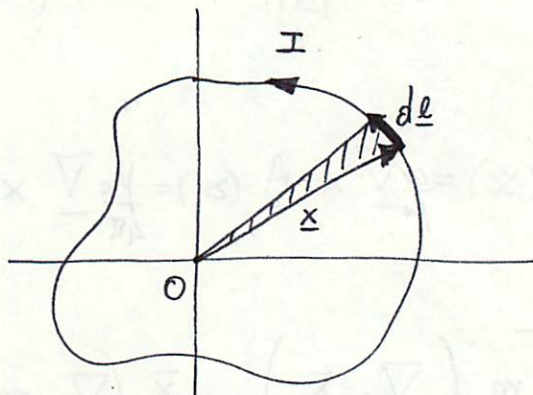
this is the field of a dipole!

- If the current is confined to a plane, but otherwise arbitrary, loop:

$$\underline{m} = \frac{1}{2} \int \underline{x} \times \underline{J}(x) d^3x = I \frac{1}{2} \int \underline{x} \times d\underline{l}$$

$$|\underline{m}| = I \int dS = IS$$

$$\underline{m} = IS \hat{n}$$



$$dS = |\underline{x} \times d\underline{l}| \cdot \frac{1}{2}$$

where  $\hat{n}$  is the vector normal the loop plane (right-hand rule)

$$\underline{B}(x) = \nabla \times \underline{A}(x) = \frac{\mu_0}{4\pi} \nabla \times \left( \underline{m} \times \frac{\underline{x}}{x^3} \right)$$

$$= \frac{\mu_0}{4\pi} \epsilon_{ijk} \partial_i \left( \underline{m} \times \frac{\underline{x}}{x^3} \right)_j \hat{e}_k$$

$$= \frac{\mu_0}{4\pi} \epsilon_{ijk} \partial_i \left( \epsilon_{pqr} m_p \frac{x_q}{x^3} \hat{e}_r \right) \cdot \hat{e}_j \hat{e}_k$$

$$= \frac{\mu_0}{4\pi} \epsilon_{ijk} \partial_i \left( \epsilon_{pqj} m_p x_q x^{-3} \right) \hat{e}_k$$

$$= \frac{\mu_0}{4\pi} \epsilon_{ijk} \epsilon_{pqj} m_p \hat{e}_k \left( \delta_{iq} x^{-3} - 3x^{-4} \frac{x_i x_q}{x} \right)$$

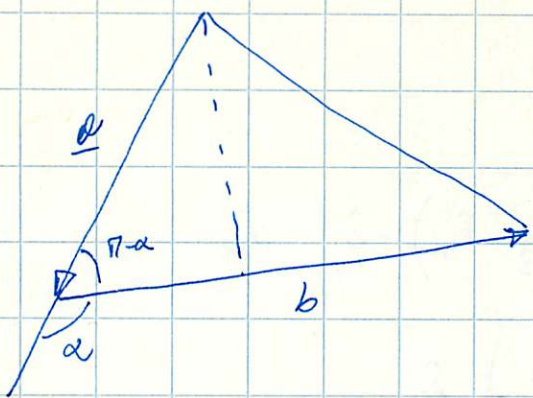
$$= \frac{\mu_0}{4\pi} \epsilon_{jki} \epsilon_{jpq} \left\{ m_p \hat{e}_k \left( + \delta_{iq} \frac{1}{x^3} - \frac{3x_i x_q}{x^5} \right) \right.$$

$$= \frac{\mu_0}{4\pi} \left( \delta_{np} \delta_{iq} - \delta_{nq} \delta_{ip} \right) m_p \hat{e}_n \left( + \delta_{iq} \frac{1}{x^3} - \frac{3x_i x_q}{x^5} \right)$$

$$= \frac{\mu_0}{4\pi} \left[ m_n \hat{e}_n \left( + \frac{1}{x^3} \delta_{ii} - \frac{3x_i x_i}{x^5} \right) - m_p \hat{e}_p \left( + \delta_{in} \frac{1}{x^3} - \frac{3x_i x_k}{x^5} \right) \right]$$

$$= \frac{\mu_0}{4\pi} \left[ \underline{m} \left( + \frac{3}{x^3} - \frac{3x^2}{x^5} \right) - \frac{\underline{m}}{x^3} + \frac{3(\underline{m} \cdot \underline{x}) \underline{x}}{x^5} \right]$$

$$= \frac{\mu_0}{4\pi} \frac{3(\underline{m} \cdot \underline{x}) \underline{x}}{x^3} - \underline{m}$$



$$\text{area} = \frac{1}{2} a \sin(\pi - \alpha) \cdot b = \frac{1}{2} a b \sin \alpha = \frac{1}{2} |a \times b|$$

- If the current distribution is provided by charged particles with charges  $q_i$  moving with velocities  $v_i$

$$\underline{J}(\underline{x}) = \sum_i q_i v_i \delta(\underline{x} - \underline{x}_i)$$

$$\underline{m} = \frac{1}{2} \int \underline{x} \times \sum_i q_i v_i \delta(\underline{x} - \underline{x}_i) d^3x =$$

$$= \frac{1}{2} \sum_i q_i \underline{x}_i \times \underline{v}_i = \frac{1}{2} \sum_i \frac{q_i}{M_i} \underline{x}_i \times (\underline{M}_i \cdot \underline{v}_i) =$$

$$= \frac{1}{2} \sum_i \frac{q_i}{M_i} \underline{L}_i$$

where  $\underline{L}_i$  is the orbital angular momentum of the  $i$ -th particle and  $M_i$  its mass.

In the case of a single particle or when  $\frac{q_i}{M_i} = \frac{q}{M} \forall i$

$$\underline{m} = \frac{q}{2M} \underline{L}$$

where  $\underline{L}$  is the total orbital angular momentum.

# Force and Torque on and Energy of a Localized Current Distribution in an External Magnetic Induction

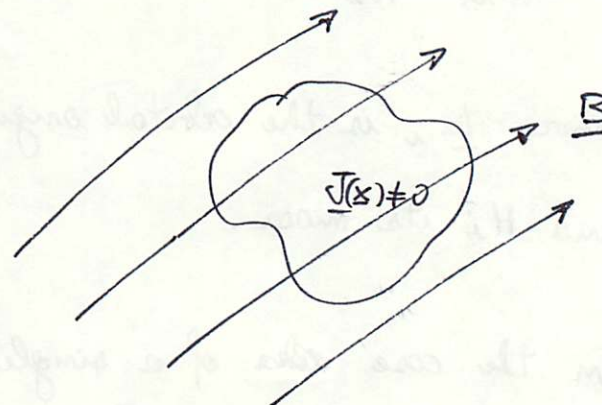
A current distribution in an external field  $\underline{B}(x)$  experiences a force and a torque according to the

$$\underline{F} = \int \underline{J}(x) \times \underline{B}(x) d^3x \quad \text{second Laplace's formula}$$

$$d\underline{F} = i d\underline{l} \times \underline{B} = \underline{J} \times \underline{B} d^3x$$

$$\underline{M} = \int \underline{x} \times (\underline{J}(x) \times \underline{B}(x)) d^3x$$

If the magnetic induction varies slowly in the region where  $\underline{J}$  is confined



$$\underline{B}_n(x) = \underline{B}_n(0) + \underline{x} \cdot \nabla \underline{B}_n(0) + \dots$$

then

$$F_i = \sum_{jk} \epsilon_{ijk} \int J_j(x) B_k(x) d^3x =$$

$$= \sum_{jk} \epsilon_{ijk} \left[ \int J_j(x) B_k(0) d^3x + \int J_j(x) \cdot \nabla B_k(0) d^3x + \dots \right]$$

4

the first integral vanishes for steady-state currents

the second integral gives:

$$\nabla \cdot \underline{B}_u(0) \cdot \int \underline{x} \cdot \underline{J}_j(\underline{x}) d^3x = [\underline{m} \times \nabla \underline{B}_u(0)]_j \quad (\text{see p. 2 with } \underline{x} \rightarrow \nabla \underline{B}_u(0))$$

$$= (\underline{m} \times \nabla)_j \underline{B}_u(\underline{x}) \Big|_{\underline{x}=0}$$

$$F_i = \varepsilon_{ijk} \varepsilon_{jlpq} m_p \partial_q B_u(0) = (\delta_{kp} \delta_{iq} - \delta_{kq} \delta_{ip}) m_p \partial_q B_u(0) =$$

$$= m_k \partial_i B_u(0) - m_i \partial_k B_u(0) = \partial_i \underline{m} \cdot \underline{B}(0)$$

$$\underline{F} = - \nabla (-\underline{m} \cdot \underline{B}) \Big|_{\underline{x}=0}$$

$$F_i = \frac{\partial}{\partial x_i} \sum_j m_j B_j(0) = \sum_j m_j \frac{\partial B_j(0)}{\partial x_i}$$

if  $\underline{B}$  is constant  $\Rightarrow \underline{F} = 0$

The torque is:

$$\underline{M} = \int \underline{x} \times (\underline{J}(x) \times \underline{B}(0)) d^3x + \int \underline{x} \times (\underline{J}(x) \times \underline{x} \cdot \nabla \underline{B}(0)) d^3x + \dots$$

using  $\omega \times (\underline{b} \times \underline{c}) = (\underline{\omega} \cdot \underline{c}) \underline{b} - (\underline{\omega} \cdot \underline{b}) \underline{c}$

the zeroth-order terms gives:

$$\underline{M} = \int \left[ (\underline{x} \cdot \underline{B}(0)) \underline{J}(x) - (\underline{x} \cdot \underline{J}(x)) \underline{B}(0) \right] d^3x$$

||  
0 (use  $f = g = 1|x|$ )

$$M_i = \underline{B}(0) \cdot \int \underline{x} \cdot J_i(x) d^3x = \text{(see p. 2 with } \underline{x} \rightarrow \underline{B}(0)\text{)}$$

$$= \left[ \underline{m} \times \underline{B}(0) \right]_i$$

$$\boxed{\underline{M} = \underline{m} \times \underline{B}(0)}$$

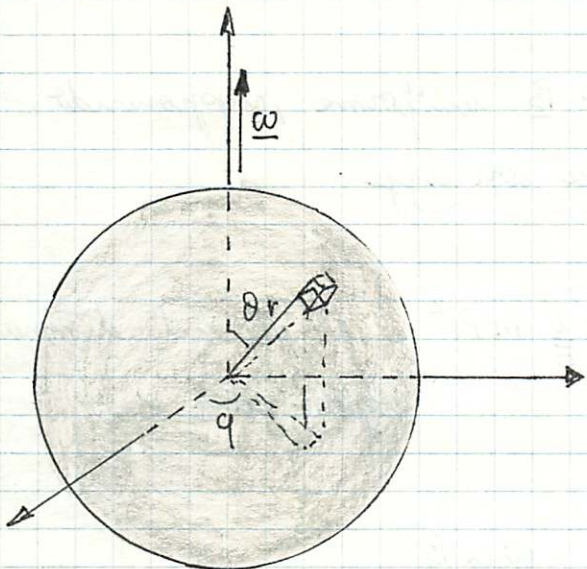
If we interpret the force as the negative gradient of a potential energy  $U$ , we find

$$\boxed{U = -\underline{m} \cdot \underline{B}(x)}$$

for a current confined to a plane loop  $S$  such that  $\underline{B} = \text{const}$  in  $S$

$$\underline{m} = \hat{n} I S \quad U = -I \left( S \hat{n} \cdot \underline{B}(x) \right) = -I \phi(\underline{B})$$

Calcolare il momento di dipolo magnetico di una sfera di raggio  $R$  uniformemente carica con carica totale  $Q$  e rotante con velocità angolare  $\omega$  intorno ad un suo diametro. Si determini  $m$  nel caso di un protone assumendo  $R = 1.3 \cdot 10^{-15} \text{ m}$  e  $m = 1.4 \cdot 10^{-26} \text{ A} \cdot \text{m}^2$



Si consideri un punto delle sfera individuato dalle coordinate  $r, \theta$  e  $\phi$  e l'elemento di volume infinitesimo associato  $dr r d\theta r \sin\theta d\phi$

in cui è contenuto uno carica  $dQ$

il momento di dipolo magnetico  $m$  è diretto come  $\omega$  ( $\omega \neq 0$ ) e vale

$$dm = dI \cdot S = \frac{dQ}{T} \pi (r \sin\theta)^2 = \frac{\omega}{2\pi} \frac{Q}{\frac{4\pi}{3} R^3} r^2 \sin\theta dr d\theta d\phi$$

$$\pi r^2 \sin^2\theta = \frac{3}{8\pi} \frac{\omega Q}{R^3} r^4 dr \sin^3\theta d\theta d\phi$$

$$m = \frac{3}{8\pi} \frac{Q\omega}{R^3} \int_0^R r^4 dr \int_0^\pi \sin^3\theta d\theta \int_0^{2\pi} d\phi =$$

$$= \frac{3}{8\pi} \frac{Q\omega}{R^3} \frac{R^5}{5} \cdot \frac{4}{3} \cdot 2\pi = \frac{1}{5} Q\omega R^2$$

Nel corso del protone :

$$\omega = \frac{5 \text{ m}}{\cancel{e} R^2} = \frac{5 \cdot 1.4 \cdot 10^{-26} \text{ A} \cdot \text{m}^2}{1.6 \cdot 10^{-19} \text{ C} \cdot (1.3 \cdot 10^{-15})^2 \text{ m}^2} = 2.6 \cdot 10^{23} \text{ rad s}^{-1}$$

Se la sfera  $\tilde{e}$  immerse in un campo  $\underline{B}$  uniforme, supponendo che sia fulcrata al centro, ora si muove con legge :

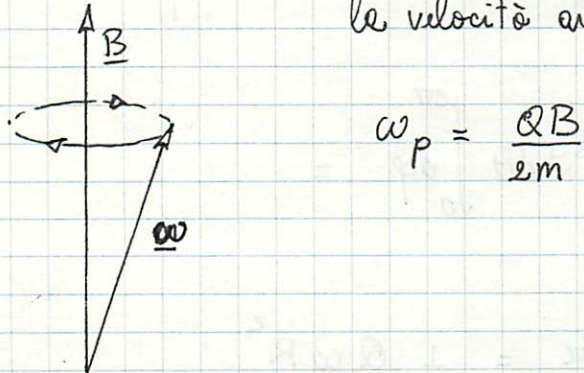
$$I \frac{d\omega}{dt} = \underline{m} \times \underline{B} \quad \text{dove } I = \frac{2}{5} m R^2 \text{ è il momento di inerzia rispetto ad un asse}$$

$$\frac{d\omega}{dt} = \frac{1}{I} \cdot \frac{QB^2}{5} \underline{\omega} \times \underline{B} = \frac{1}{2} \frac{Q}{m} \underline{\omega} \times \underline{B}$$

da  $\tilde{e}$  un moto di precessione di  $\underline{\omega}$  intorno a  $\underline{B}$  con  $\omega$  costante

$$\frac{d}{dt} \omega^2 = 2 \underline{\omega} \cdot \frac{d\underline{\omega}}{dt} = \frac{Q}{m} \underline{\omega} \cdot (\underline{\omega} \times \underline{B}) = 0$$

la velocità angolare di precessione è :



$$\omega_p = \frac{QB}{2m}$$

(1)

Una sferette

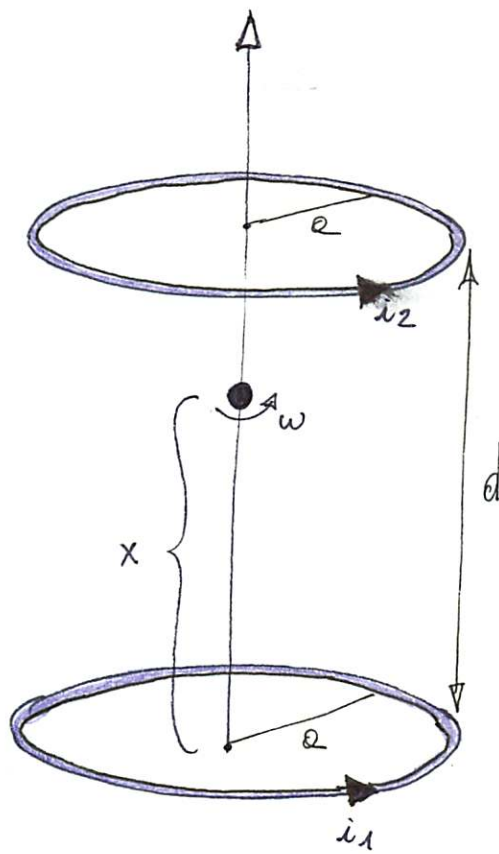
di massa  $M$  e raggio  $R$  è libera

di scorrere senza attrito lungo un orse verticale passante per un suo diametro. La sferette ha carica  $Q$  <sup>distribuita uniformemente</sup> e ruota <sup>sulla superficie</sup> intorno all'orse <sup>cittata</sup> con velocità angolare  $\omega$  in senso antiorario.

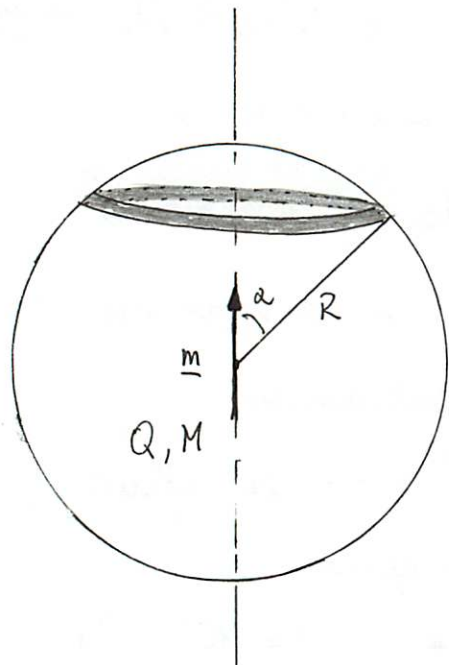
Due spine circolari di raggio  $a$  e distanti tra loro  $d$  sono disposte come mostrato in figura. Esse sono percorse da due correnti  $i_1$  ed  $i_2$  dirette in senso antiorario.

Determinare la relazione tra  $i_1$  ed  $i_2$  affinché la sferette sia in equilibrio e metà strada tra le spine.

Su die il valore numerico di  $i_2 - i_1$  per  $M = 10^{-25} \text{ kg}$ ,  $R = 10^{-8} \text{ m}$ ,  $Q = 8 \cdot 10^{-19} \text{ C}$ ,  $a = 1 \text{ mm}$ ,  $\omega = 1 \text{ en}$  ed  $\omega = 10^{14} \text{ rad s}^{-1}$



calcolo di m:



poiché lo carica è distribuito uniformemente sulla sfera si ha:

$$\begin{aligned} dm &= dI \cdot S = \frac{dQ}{T} \cdot \pi (R \sin \alpha)^2 = \\ &= \frac{\omega}{2\pi} \frac{Q}{4\pi R^2} 2\pi R \sin \alpha R d\alpha = \pi R^2 \sin^2 \alpha = \\ &= \omega Q R^2 \frac{1}{4} \sin^3 \alpha d\alpha \end{aligned}$$

$$\begin{aligned} M &= \frac{1}{4} \omega Q R^2 \int_0^\pi \sin^3 \alpha d\alpha = \\ &= \frac{1}{4} \omega Q R^2 \left( \int_0^\pi \sin \alpha d\alpha - \int_0^\pi \cos^2 \alpha \sin \alpha d\alpha \right) = \\ &= \frac{1}{4} \omega Q R^2 \left( \cos \alpha \Big|_0^\pi + \frac{1}{3} \cos^3 \alpha \Big|_0^\pi \right) = \\ &= \frac{1}{4} \omega Q R^2 \frac{4}{3} = \frac{1}{3} \omega Q R^2 \end{aligned}$$

(2)

Le sfera conica in rotazione

constituisce un momento di dipolo magnetico di  
modulo

$$m = \frac{1}{3} Q \omega R^2$$

diretto verso l'alto per  $Q > 0$ .

Quando la sferetta si trova alla quota  $x$  del piano dell'asse spina 1 l'energia potenziale magnetica è

$$U_m = - \underline{m} \cdot \underline{B}_1 - \underline{m} \cdot \underline{B}_2 =$$

$$= - m \frac{\mu_0}{2} \frac{i_1 \omega^2}{(\omega^2 + x^2)^{3/2}} - m \frac{i_2 \omega^2}{[\omega^2 + (d-x)^2]^{3/2}} \frac{\mu_0}{2}$$

Inoltre la sferetta possiede energia potenziale gravitoriale

$$U_g = Mg x$$

In condizioni di equilibrio

$$\frac{d}{dx} (U_m + U_g) = 0$$

$$- m \frac{\mu_0 \omega^2}{2} \left[ -\frac{3}{2} \frac{i_1 x}{(\omega^2 + x^2)^{5/2}} + \frac{3}{2} \frac{i_2 x (d-x)}{[\omega^2 + (d-x)^2]^{5/2}} \right] + Mg = 0$$

$$\text{per } x = \frac{\frac{d}{2}}{2}$$

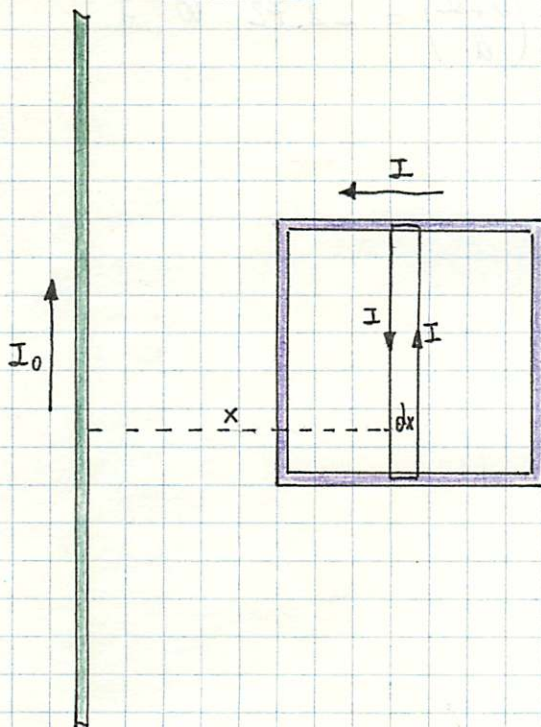
$$m \mu_0 \frac{3}{4} \frac{\omega^2 d}{\left(\omega^2 + \frac{d^2}{4}\right)^{5/2}} \left[ i_1 - i_2 \right] + Mg = 0$$

$$i_2 - i_1 = \frac{4}{3} \frac{Mg \left(\omega^2 + \frac{d^2}{4}\right)^{5/2}}{\mu_0 \omega^2 d \frac{1}{3} Q \omega R^2}$$

$$= \frac{4 Mg \left(\omega^2 + \frac{d^2}{4}\right)^{5/2}}{\mu_0 \omega^2 d R^2 Q \omega} = 0.39 \text{ A}$$

Il risultato trovato vale nell'approssimazione di dipolo  
 cioè quando i campi  $B_1$  e  $B_2$  variano poco sulle  
 scale di lunghezza  $R$

Una spira quadrata di lato  $a = 34$  cm percorsa da corrente stazionaria  $I = 0.5$  A è immersa nel campo magnetico generato da un filo rettilineo infinito percorso da corrente  $I_0 = 8$  A. La spira è complessata con il filo e dista da esso 20 cm. Che lavoro ricopre per allontanare la spira sull'infinito?



Sia la corrente  $I$  diretta in senso antiorario.

Le spine costituisce un dipolo magnetico di momento

$$m = I S = I a^2$$

Il campo magnetico generato dal filo non è costante ma dipende dalla distanza  $x$  da esso:

$$B_0(x) = \frac{\mu_0}{2\pi} \frac{I_0}{x}$$

in generale la dipendenza da  $x$  non può essere  
trattata sulle scale e che fissa le dimensioni delle spine

La spira può essere decomposta in tante spine infiniterime di area  $a dx$  percorse da corrente  $I$ . L'energia magnetica di ciascuna di esse nel campo  $B_0(x)$  vale:

$$dU = - dM \cdot B_0(x) = I a dx \frac{\mu_0}{2\pi} \frac{I_0}{x}$$

detto  $d$  la distanza minima della spira dal filo:

$$M(d) = \int_d^{d+\alpha} dM = \frac{\mu_0}{2\pi} II_0 a \int_d^{d+\alpha} \frac{dx}{x} = \frac{\mu_0}{2\pi} II_0 a \ln\left(\frac{d+\alpha}{d}\right)$$

il lavoro fatto per portare le spine a distanza infinita è:

$$L = M(\infty) - M(d) = 0 - \frac{\mu_0}{2\pi} II_0 a \ln\left(\frac{d+\alpha}{d}\right) = -2.72 \cdot 10^{-7} J$$

infatti le spine ed il filo si respingono

Per campi B non uniformi in generale si ha:

$$dM = - \underline{dm}(x) \cdot \underline{B}(x) = - \frac{1}{2} \underline{x} \times \underline{J}(x) d^3x \cdot \underline{B}(x)$$

$$\text{per spine piane } \frac{1}{2} \underline{x} \times \underline{J}(x) d^3x = I \frac{1}{2} \underline{x} \times \underline{dl} = I dS \hat{n}$$

$$dM = - I \underline{B}(x) \cdot \hat{n} dS \quad M = - I \phi(\underline{B})$$